

การลดการสั่นสะเทือนในห้องเผาไหม้ด้วยการนำไอเสียกลับมาเผาใหม่

ผู้ช่วยศาสตราจารย์ ดร.รุ่งเรือง พิทยศิริ
ภาควิชาช่างเครื่องกล คณะวิศวกรรมศาสตร์
มหาวิทยาลัยมหิดล ศาลายา นครปฐม 73170

บทคัดย่อ

การสั่นสะเทือนในห้องเผาไหม้เป็นที่ทราบกันดีว่าทำให้ประสิทธิภาพเชิงความร้อนลดลงเนื่องจากเกิดปริมาณเชื้อเพลิงที่เผาไหม้ไม่สมบูรณ์มากขึ้นและในหลายกรณีส่งผลให้อุณหภูมิของห้องเผาไหม้ลดลงด้วย ยิ่งไปกว่านั้นในห้องเผาไหม้ของเครื่องยนต์ก๊าซเทอร์ไบน์ที่ใช้ในการผลิตพลังงานที่มีรูปแบบล้ำสมัย ซึ่งใช้การหมุนวนของอากาศเพื่อสนับสนุนให้ห้องเผาไหม้มีขนาดเล็กลงมักจะประสบกับปัญหาการสั่นสะเทือนที่มีขนาดรุนแรงมากโดยเฉพาะที่ค่าความเข้มข้นของเชื้อเพลิงใกล้กับค่าที่สมบูรณ์ตามทฤษฎี (Stoichiometry) หรือที่ค่าส่วนผสมบางช่วงนิยมใช้ในการลดลงภาวะของไนโตรเจนออกไซด์ การสั่นสะเทือนจึงยังเป็นอุปสรรคที่สำคัญต่อเทคโนโลยีที่ล้ำสมัยและแนวปฏิบัติปัจจุบันในภาคอุตสาหกรรม

การวิจัยที่ผ่านมาได้แสดงให้เห็นว่าการลดลงของการสั่นสะเทือนสามารถทำได้ด้วยการจำกัดสภาวะการให้ห้องเผาไหม้ใช้การควบคุมแบบแยกกัน อย่างไรก็ได้วิธีดังกล่าวไม่อาจสามารถทำได้ทั้งหมดด้วยเมื่อเครื่องยนต์มีภาวะโหลดสูงและมีขนาดใหญ่เหมือนดังในอุตสาหกรรม การนำเสนอเทคนิค “การนำไอเสียกลับมาใช้ใหม่” หรือ “Exhaust Gas Recirculation (EGR)” ซึ่งนิยมใช้เพื่อลดก๊าซในไนโตรเจนออกไซด์เนื่องจากสามารถทำให้บริเวณที่มีอุณหภูมิเผาไหม้สูงสุดลดลง จึงอาจสามารถทำให้บริเวณที่มีความดันสูงสุดมีอุณหภูมิลดลง เช่นกันพร้อมๆ กันทำให้การกระจายตัวของอุณหภูมิมีความสม่ำเสมอมากขึ้นด้วย อันทำให้การสั่นสะเทือนลดลง

ผลการทดลองแสดงให้เห็นว่าการปรับขนาดทางออกของห้องเผาไหม้ไม่สามารถนำไปใช้กลับมาเผาไหม้อีกครั้งในบริเวณการเผาไหม้ปฐมภูมิ (Primary Zone) ทำให้ต้องจำลองการนำไอเสียกลับมาใช้ใหม่ด้วยการสร้างไอเสียขึ้นมาโดยห้องเผาไหม้ที่ต้องเผาไหม้เดียวและใช้ปริมาณเชื้อเพลิงเท่ากันและมีสเปกตรัมการสั่นสะเทือนที่คล้ายกัน โดยพบว่าการสั่นสะเทือนจะขึ้นอยู่กับปริมาณเชื้อเพลิงในห้องเผาไหม้ที่ต้องเผาไหม้มากกว่าในห้องเผาไหม้ปฐมภูมิ การนำไอเสียกลับมาใช้ใหม่สามารถทำให้การสั่นสะเทือนลดลงได้และการลดลงจะมีประสิทธิภาพสูงขึ้นเมื่อส่วนผสมของเชื้อเพลิงในห้องเผาไหม้ที่ต้องเผาไหม้ที่ต้องเผาไหม้ปฐมภูมิมีขนาดบาง (lean) ซึ่งสามารถทำให้การสั่นสะเทือนบนบริเวณค่าส่วนผสมเชื้อเพลิงที่พอดีทางทฤษฎีลดลงได้มากถึงสามเท่าตัวจากค่าความดันกัมเบร 3.5 เหลือเพียง 1.2 กิโลปascals

1. บทนำ

ปัจจุบันเครื่องยนต์ก๊าซเทอร์ไบน์เป็นเครื่องยนต์ดันกำลังที่ได้รับความสนใจอย่างกว้างขวางทั้งในภาคอุตสาหกรรมและภาค civilian เพราะมีประสิทธิภาพการเผาไหม้ในเครื่องยนต์สูงมากกว่า 97% เมื่อจากลักษณะของห้องเผาไหม้ส่วนใหญ่เอื้ออำนวยว่าให้เวลาสำหรับการผสมกันระหว่างเชื้อเพลิงกับอากาศหรือเชื้อเพลิงกับไนโตรเจนหรือไอเสีย (Residence time) ที่พอเหมาะ ยิ่งสามารถทำให้มีระยะเวลาในการผสมกันนานขึ้นก็จะทำให้การเผาไหม้สามารถเกิดขึ้นได้สมบูรณ์มากขึ้นและอาจทำให้การเผาไหม้ที่สมบูรณ์เกิดขึ้นด้วยระยะทางที่สั้นลงอีกด้วย การใช้การหมุนวน (swirl) เป็นเทคโนโลยีที่นิยมใช้เพื่อกำหนดให้ห้องเผาไหม้ที่ขนาดกระหัตต์และมีความร้อนจากการเผาไหม้สูง

อย่างไรก็ตามสภาวะที่การเผาไหม้สมบูรณ์ในเครื่องยนต์ก๊าซเทอร์ไบน์สามารถกระตุ้นให้เกิดการสั่นสะเทือนตามธรรมชาติ (Naturally-Occurring Oscillations) ก่อให้เกิดมลภาวะทางเสียงอีกทั้งยังทำให้เกิดการสั่นสะเทือนทางกลซึ่งนำไปสู่ความเสียหายของโครงสร้างและยังทำให้เกิดการสูญเสียพลังงานไปในระหว่างการเผาไหม้ได้สูง (Bhidayasi, 2001, McManus et al., 1993, Candel, 1992) นอกจากนี้การเผาไหม้ที่สมบูรณ์ยังกระตุ้นให้เกิดการปล่อยมลภาวะโดยเฉพาะอย่างยิ่งออกไซด์ของไนโตรเจนออกไซด์สูบราชการมากขึ้นซึ่งในปัจจุบันได้เกิดการตั้งตัวในการลดและความดันของมลพิษของไนโตรเจนออกไซด์ (NO_x) มากขึ้นจนเป็นการกำหนดมาตรฐานของระดับมลพิษซึ่งเป็นตัวควบคุมอย่างหนึ่งในการออกแบบลักษณะของห้องเผาไหม้ซึ่งที่ใช้อยู่ในสหราชอาณาจักรและยุโรปคือ 27 ส่วนในล้านส่วน (ppm) ซึ่งถือว่าเข้มงวดมากและมีแนวโน้มว่าจะลดลงเป็น 9 ppm และอาจนำมาปรับบังคับใช้ในประเทศไทยในอนาคต

ดังนั้นการควบคุมการเผาไหม้ให้เกิดประสิทธิภาพสูงในขณะที่มีความเด่นทางความร้อนต่ำ บรรดาจักษุการเห็นว่าทำให้เกิดการสั่นสะเทือน รวมไปถึงการถ่ายเทความร้อนที่สูง และเกิดมลพิษโดยรวมต่ำที่สุดซึ่งเป็นสิ่งที่นักวิทยาศาสตร์และวิศวกรพยายามทำการศึกษา โดยเฉพาะอย่างยิ่งการวิจัยที่สามารถนำมาประยุกต์ใช้ได้กับห้องเผาไหม้ในอุตสาหกรรมหรือเครื่องยนต์ก๊าซเทอร์ไบน์ นอกจากนั้นแนวโน้มการใช้เชื้อเพลิงในประเทศไทยตามแผนพัฒนาพลังงานของประเทศไทย (EGAT Power Development Plan, 1997) จะมีการใช้ก๊าซธรรมชาติให้มากถึง 60% ของเชื้อเพลิงทั้งหมดซึ่งหมายถึงว่าการผลิตพลังงานโดยใช้ก๊าซเทอร์ไบน์จะเกี่ยวความสำคัญมากขึ้น ดังนั้นการควบคุมการเผาไหม้จากก๊าซซึ่งมีบทบาทสำคัญทำให้การเผาไหม้มีประสิทธิภาพสูงและเกิดปัญหาน้อยลงทั้งในด้านมลพิษและการสั่นสะเทือน

งานวิจัยนี้ใช้ห้องเผาใหม่จำลองซึ่งตรงกับรูปแบบของห้องเผาใหม่แก๊สเทอร์บินที่นิยมในขณะนี้ ซึ่งใช้การหมุนวนส่วนผสม (Swirl) เป็นตัวรักษาระดับความเร็วไฟฟ้า โดยมุ่งเน้นต่อการแก้ปัญหาที่พื้นฐานของการสันสะเทือนที่เคยได้ทำการศึกษาวิจัยพฤติกรรมมาแล้วในอดีต (Bhidayasiri, 2001; Sivasegaram และ Whitelaw, 1991) และเนื่องจากในรูปแบบดังกล่าวการสันสะเทือนจะเกิดขึ้นโดยมีค่าสูงสุดของความดันหรือ Pressure antinode ที่ปลายทางเข้าของห้องเผาใหม่ซึ่งเป็นบริเวณที่ใกล้กับบริเวณที่มีอุณหภูมิสูงสุดในห้องเผาใหม่ การลดอุณหภูมิในบริเวณดังกล่าวรวมถึงการทำให้อุณหภูมิในบริเวณดังกล่าวมีการกระจายตัวที่สม่ำเสมอมากขึ้นซึ่งจะทำให้การสันสะเทือนลดลงแต่การลดอุณหภูมิโดยการฉีดน้ำเข้าไปในห้องเผาใหม่เป็นวิธีการที่มักปฏิบัติในบริเวณใกล้ทางออกของห้องเผาใหม่ การฉีดในบริเวณใกล้ทางเข้าอาจทำให้การเผาใหม่มีความสมบูรณ์ลดลง

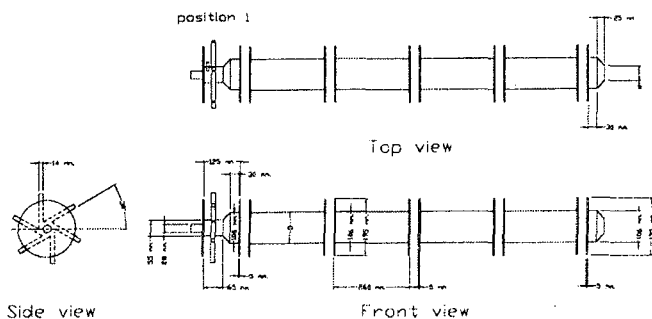
เทคนิคอย่างการนำไอเสียกลับมาเผาใหม่ (Exhaust Gas Recirculation; EGR) จึงถูกใช้ความสนใจอย่างยิ่งเนื่องจากมีประสิทธิภาพสูงในการลดอุณหภูมิในบริเวณดังกล่าวโดยการนำไอเสียที่มีอุณหภูมิจากการเผาใหม่ที่เปลี่ยนแปลงซึ่งอิทธิพลนี้มีความเป็นไปได้ที่จะเริ่มโยงกับการลดลงของการสันสะเทือนในห้องเผาใหม่ได้ เทคนิคนี้ในอดีตได้แสดงผลแล้วว่าสามารถลดอุณหภูมิในบริเวณ Primary Zone ได้ซึ่งเป็นบริเวณที่เปลวไฟเสียรและอยู่ใกล้ปลายทางเข้าของห้องเผาใหม่ โดยเป็นวิธีที่สำคัญในการออกแบบห้องเผาใหม่เพื่อลดมลพิษ NO_x ได้โดย Breen (1972) พบว่าการใช้สัดส่วนการหมุนวนไอเสียจาก 0 ถึง 40 % สามารถลด NO_x ได้มากถึง 70 % แต่ยังพบอีกว่าการใช้สัดส่วนการหมุนวนไอเสียที่มากเกินไปจะทำให้เปอร์เซ็นต์ของออกซิเจนไม่เพียงพอ กับเชื้อเพลิงและทำให้การเผาใหม่ไม่สมบูรณ์ได้หรือมีปัญหากับเสถียรภาพของเปลวไฟได้ (รุ่งเรือง พิทยศิริ, 2541) จึงเห็นได้ว่าการใช้เทคนิค EGR อาจนำไปสู่อุบัติภัยในการลดการสันสะเทือนพร้อมกับสามารถทำให้เกิดมลพิษ NO_x ลดลงได้อีกด้วย แต่ที่ผ่านมาการศึกษาผลของ EGR มุ่งเน้นไปที่การลด NO_x เป็นหลัก ยังไม่มีวิธีที่นำมาศึกษาต่อการสันสะเทือนในห้องเผาใหม่ เทคนิคนี้จึงถูกเลือกมาเป็นเทคนิคเพื่อลดการสันสะเทือนในห้องเผาใหม่จำลองในการศึกษาครั้งนี้

อย่างไรก็การที่จะนำไอเสียกลับมาเผาใหม่จำเป็นต้องตัดแปลงห้องเผาใหม่ให้สามารถสนับสนุนการไหลกลับของไอเสียได้ หรือต้องมีห้องเผาใหม่อีกชุดที่จะผลิตไอเสียมาป้อนเข้าสู่ห้องเผาใหม่หลักได้ รูปแบบของห้องเผาใหม่จึงเปลี่ยนไปและจะทำให้ลักษณะของคลื่นความดันในห้องเผาใหม่เปลี่ยนตามไปด้วย การศึกษาจึงได้เริ่มต้นที่พฤติกรรมของ การสันสะเทือนตามรูปแบบของห้องเผาใหม่ที่เปลี่ยนไป และถูกนำมาเปรียบเทียบกับการสันสะเทือนในห้องเผาใหม่ก่อนที่มีการตัดแปลงที่การใช้ปริมาณเชื้อเพลิงที่เท่ากัน จึงสามารถนำไปประสิทธิภาพมาเปรียบเทียบกันได้

นอกจากนี้จากการศึกษาในอดีตที่อ้างอิงในข้างต้นพบว่า สภาวะและปริมาณของไอเสียที่นำมาใช้นั้นมีอิทธิพลต่อปริมาณออกซิเจนและคุณสมบัติของการเผาใหม่ได้ การศึกษาจึงต้องกำหนดพารามิเตอร์ของไอเสียที่ใช้อย่างเป็นระบบเพื่อนำไปสู่ข้อสรุปว่าสภาวะที่สามารถเอื้อให้เกิดการพัฒนาที่สมบูรณ์เกิดขึ้นด้วยข้อจำกัดของพารามิเตอร์ไหนและอย่างไร

2. โครงสร้างและลักษณะทางเรขาคณิต อุปกรณ์และเครื่องมือ

ห้องเผาใหม่เป็นรูปแบบหัวเผาแก๊สเทอร์บินจำลองดังแสดงในรูปที่ 1 เมื่อก่อนกับที่ใช้ในการศึกษาของ Bhidayasiri, 2001 ซึ่งปลายด้านของห้องเผาใหม่จะมีชุดหมุนวนส่วนผสม (Swirler) ซึ่งประกอบไปด้วยห่อในแนวสัมผัส (Tangential inlet) ขนาด 14 มม. จำนวน 6 ห่ออยู่บนผิวปลายทางเข้า และจะมีห่อในแนวแกน (Axial inlet) ขนาด 28 มม. ที่ปลายหน้าตัดของห้องเผาใหม่ ซึ่งห่อทั้ง 7 จะรับส่วนผสมระหว่างอากาศกับเชื้อเพลิงที่ได้ถูกผสมผ่านชุดเตรียมส่วนผสม (Mixer) 2 ชุด (ชุดหนึ่งเป็นของส่วนผสมหมุนวนอีกชุดเป็นของส่วนผสมในแนวแกน) เมื่อส่วนผสมทั้ง 2 ชุดเข้าไปในห้องเผาใหม่จะผ่านดิฟฟิวเซอร์ (Diffuser) ซึ่งเพิ่มเส้นผ่าศูนย์กลางจากขนาด 55 มม. (d) เป็น 106 มม. (D) ซึ่งในบริเวณนี้จะเป็นบริเวณที่ประس่งค่าให้เปลวไฟเสียร์ด้วย และการเผาใหม่จะดำเนินต่อไปในห้องเผาใหม่จะผ่านดิฟฟิวเซอร์ (Diffuser) ซึ่งเพิ่มเส้นผ่าศูนย์กลางจากขนาด 55 มม. (d) เป็น 106 มม. (D) และสามารถปรับความยาวได้เนื่องจากหอนจะถูกทำเป็นห่อน (Module) จำนวน 4 ห่อนโดยมีขนาดห่อนละ 250 มม. โดยสามารถทำให้ความยาวของห้องเผาใหม่ยาวได้สูงสุดถึง 10 เท่าของเส้นผ่าศูนย์กลาง (D) ก่อนออกจากห้องเผาใหม่ ส่วนบริเวณที่ปลายทางออกจะสามารถถอดตัวเองออกและสามารถติดตั้งกลับเข้าไปได้โดยไม่ต้องดัดแปลง คือ 0.3, 0.5, 0.8 เท่าของ D เพื่อเพิ่มความเร็วที่ทางออกของห้องเผาใหม่



รูปที่ 1 รายละเอียดห้องเผาใหม่พื้นฐาน

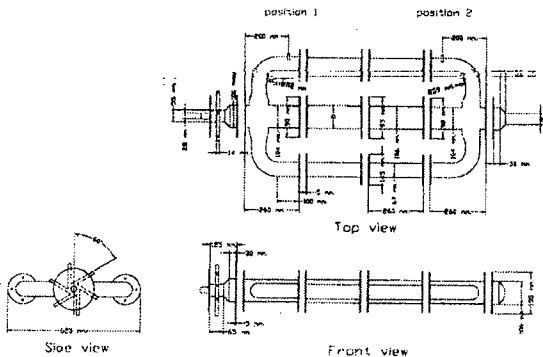
ค่า Swirl number (Sw) ได้จากการคำนวณสัดส่วนของ Flux ของโมเมนตัมในแนวสัมผัสกับในแนวแกนและหารด้วยรัศมีของการหมุนวนที่บริเวณคอคอดของดิฟฟิวเซอร์ ซึ่งจะต้องหาขนาดขององค์ประกอบความเร็วในแนวแกนและแนวสัมผัส ดังสูตรการคำนวณดังไปนี้

$$Sw = \frac{\frac{1}{2} \int_{D/2}^{D/2} 2\pi r^2 \rho U W dr}{\frac{1}{2} \int_{D/2}^{D/2} 2\pi r \rho U^2 dr}$$

โดยที่ U เป็นความเร็วในแกนและ W เป็นความเร็วในแนวสัมผัส, r และ D เป็นรัศมีและเส้นผ่าศูนย์กลางของการหมุนวน

โดยใน การศึกษานี้ เนื่องจากปร่างเรขาคณิตของชุดหมุนวนส่วนผสม (Swirler) มีลักษณะคล้ายกับชุดในการศึกษาของ Bhidayasiri et al. (1998) จึงได้ทำการ Interpolate จากการคำนวณในครั้งก่อนและค่า Sw สูงสุดที่ได้จากการศึกษาของ Swirler นี้ประมาณ 2.0

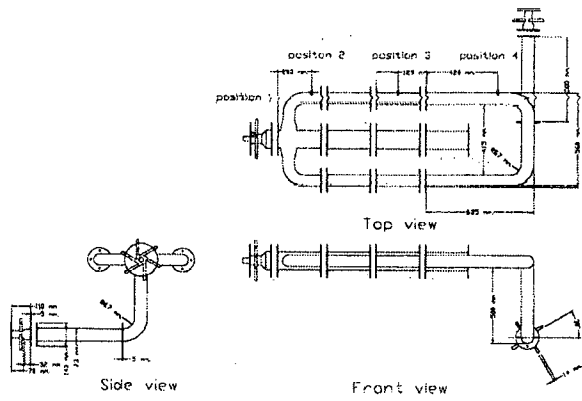
ห้องเผาไหม้ในรูปที่ 1 เป็นห้องเผาไหม้ที่ใช้ศักยภาพเพื่อรักษาของ การสั่นสะเทือนและใช้ในการเบร์เย็บเทียน อ้างอิงกับผลจากการใช้ EGR ว่าจะทำให้มีการเปลี่ยนแปลงการสั่นสะเทือนอย่างไร ส่วนในห้องเผาไหม้ในรูปที่ 2 เป็นห้องเผาไหม้จ้าลงที่บีริเวณปลายทางออกก่อน ถึงносเชลเม่ท่อคู่ขนาด 67 มม. วางตัวอยู่ในแนวเดียวกันตามสมมุติฐานที่จะนำไอเสียที่ได้จากการเผาไหม้กลับมาสู่บีริเวณ Primary zone เพื่อเผาไหม้ใหม่อีกครั้ง โดยท่อคู่นี้จะผ่านข้องขนาดเดียวกันและเป็นท่อตรงที่บีน้ำกันแกนห้องเผาไหม้หลักก่อนที่จะผ่านข้องขนาดเดียวกันอีกครั้งเพื่อไปบรรจบกับบีริเวณ Primary zone ใกล้ชิดหมุนวนส่วนผสม



รูปที่ 2 รายละเอียดห้องเผาไหม้แบบมีท่อข้างๆ

ห้องเผาไหม้รูปที่ 3 เป็นชุดที่ประกอบไปด้วยห้องเผาไหม้สองตัว ตัวแรกเหมือนกับห้องเผาไหม้ในรูปที่ 2 แต่แทนที่ท่อคู่ซึ่งบีน้ำกันแกนห้องเผาไหม้หลักจะบรรจบกับบีริเวณใกล้ปลายทางออกของห้องเผาไหม้ ท่อคู่นี้จะเชื่อมโยงเข้ากับห้องเผาไหม้ขนาดเล็กอีกด้วยท่อที่เรียกว่าห้องเผาไหม้ทุติดภูมิ (Secondary burner) โดยท่อคู่จะยาวพันปลายทางออกของห้องเผาไหม้หลัก โดยท่อคู่นี้จะมีชุดข้องอธิบายท่อที่นำไปบรรจบกันที่ตัวเชื่อมสามทางหรือ T-junction ซึ่งอยู่ในระหว่างเดียวกันและข้างของตัว T จะอยู่ในแนวตั้งก่อนที่จะผ่านข้องอีกด้วยท่อที่เรียกว่าห้องเผาไหม้ทุติดภูมิ

ห้องเผาไหม้ทุติดภูมิจึงจะนำไอเสียผ่านตัว T ข้างตันและผ่านท่อคู่ที่ไปบรรจบและส่งไอเสียเข้าในบีริเวณ Primary zone ของห้องเผาไหม้หลัก โดยที่ห้องเผาไหม้ทุติดภูมิจะมีลักษณะคล้ายกับห้องเผาไหม้ในรูปที่ 1 แต่ที่ชุดหมุนวนส่วนผสมจะประกอบด้วยท่อแนวสัมผัสขนาด 14 มม. จำนวน 4 ห่อและไม่มีท่อแนวแกนหรือ Axial inlet และมีขนาดของดิฟฟิวเซอร์ที่เปลี่ยนเส้นผ่าศูนย์กลางท่อจาก 45 มม. (d) เป็น 62.5 มม. (D) จากนั้นจะเป็นท่อที่มีขนาดเดียวกันซึ่งทำให้ห้องเผาไหม้ทุติดภูมิมีความยาวรวมทั้งสิ้นเท่ากับ 8 เท่าของเส้นผ่าศูนย์กลาง (D) ก่อนที่จะผ่านข้องเพื่อนำไอเสียแยกเข้าท่อคู่ด้านบนต่อไป



รูปที่ 3 รายละเอียดชุดห้องเผาไหม้ที่มีระบบนำไอเสียมาใช้

สามารถดัดนับบรรยายกาศถูกอัดด้วยเครื่องอัดอากาศของ PUMA (PK 300) ขนาด 30 แรงม้า 6 สูบ ซึ่งสามารถผลิตการไหลงอากาศได้ถึง 3805 ลิตรต่อนาทีที่ความดันบรรยายกาศ และเชื้อเพลิงซึ่งใช้ก๊าซหุงต้ม (LPG) อันประกอบด้วย propane 70 % และบีโน่pane ประมาณ 30 % ของการบีโน่โดยเฉลี่ยแห่งประเทศไทยก็ต้องมีการตรวจสอบการไหลงประทุมถูกต้องด้วยมาตรการไหลงประทุมถูกต้องที่ถูกกำหนดการปรับตั้ง (Calibrated Float-type Flowmeter) ซึ่งสำหรับอากาศใช้มาตรฐานการไหลง(สองอัน)ของ OMEGA ที่สามารถวัดปริมาณอากาศในช่วงระหว่าง 280 ถึง 3100 ลิตรต่อนาทีและในช่วงระหว่าง 110 ถึง 1100 ลิตรต่อนาที และสำหรับก๊าซใช้มาตรการไหลง(สองอัน)ของ Bailey Fischer & Porter ที่สามารถวัดปริมาณก๊าซธรรมชาติในช่วงระหว่าง 24 ถึง 305 ลิตรต่อนาที ซึ่งมาตรการไหลงทั้งหมดนี้สามารถให้ความแม่นยำภายใน 5 % ของค่าที่อ่านได้ซึ่งทำการปรับตั้งร่วมกับเกจวัดความดันที่ติดตั้งกับมาตรการไหลง

ในการวิจัยครั้งนี้ การสั่นสะเทือนในห้องเผาไหม้ถูกวัดโดยใช้ Pressure Sensor ของบริษัท STS Technik Sirnach AG รุ่น CH-8370 SIRNACH/SCHWEIZ ตรวจดัดความดันภายในห้องเผาไหม้ โดยจะติดตั้ง Sensor บริเวณตำแหน่ง Antinode ซึ่งเป็นบริเวณส่วนหัวหรือปลายทางเข้าของห้องเผาไหม้เนื่องจากเป็นห้องเผาไหม้ปลายปิด (One-closed and one-opened ends) ทำให้คลื่นของความดันมีความยาวคลื่นเป็นหนึ่งในสี่ของความยาวห้องเผาไหม้ (Bhidayasiri, 2000) โดยเราจะป้อนแรงดันไฟฟ้าขนาด 15-30 โวลท์ (DC) ให้กับตัวเซ็นเซอร์ เมื่อเซ็นเซอร์ได้รับความดันจาก การเผาไหม้ภายใน Sensor ก็จะส่งสัญญาณ Analog ซึ่งเป็นสัญญาณทางไฟฟ้าที่มีแรงดัน 0-10 โวลท์ (DC) ออกมาจากนั้นเราจึงนำสัญญาณไปแปลงเป็นสัญญาณดิจิตอลและใช้ Digital Oscilloscope (YOKOGAWA, DL 1540) แปลงสัญญาณโดยการทำ Fourier Transform ให้อยู่ในกราฟスペกตรัมซึ่งจะแสดงความถี่กับแอมพลิจูดของความดันและแสดงผลออกมาระบุไว้ในการวิเคราะห์ไป

นอกจากนั้นแล้วยังมีการวัดอุณหภูมิโดยใช้หัววัด Temperature Probe ของ Testo รุ่น 0600.8520 ชนิด K (NiCr-NiAl) DIN IEC 584 และวัดค่า CO, CO₂, O₂ โดยใช้ Probe ที่มีเส้นผ่าศูนย์กลางประมาณ 9 มม. และชุดวิเคราะห์ไอเสียของ Testo รุ่น 342-2 แบบอิเล็กทรอนิกส์ซึ่ง

สามารถวัด CO₂ ได้ในช่วงระหว่าง 0-4000 ppm และ O₂ ในช่วงระหว่าง 0-21 % ส่วน CO₂ สามารถวัดจนถึงค่าสูงสุดได้ ซึ่งทั้งหมดนี้จะทำการวัดในบริเวณที่ทางออกของห้องเผาไหม้และบริเวณที่ไอเสียหมุนวนกลับมาเผาไหม้ซึ่งได้ทำการเจาะรูไว้สำหรับการทดสอบ Probe เข้าไปสู่ห้องผลนี้จะต้องมีการทำการปรับตั้ง (Calibration) ด้วยกําลังมาตรฐาน (Span Gas) ด้วยความแม่นยำภายใน 1 %

3. คำอธิบายสัญลักษณ์

- d เส้นผ่าศูนย์กลางของหอด้านด้านของดิฟฟิวเซอร์หรือเส้นผ่าศูนย์กลางที่ปลายคอกอด (Nozzle) ของห้องเผาไหม้
- D เส้นผ่าศูนย์กลางของหอด้านปลายของดิฟฟิวเซอร์
- L ความยาวของห้องเผาไหม้
- Sw Swift number หรือตัวเลขแสดงถึงความรุนแรงในการหมุนวนหรือเป็นสัญลักษณ์แสดงว่ามีกําลังในแนวสัมผัส
- Ax สัญลักษณ์แสดงว่ามีกําลังขนาดนานกับแนวแกนของห้องเผาไหม้
- Re Reynolds number ตัวเลขเรโนลด์
- ϕ Equivalence ratio ค่าสัดส่วนมาตรฐานของความเข้มข้นเชื้อเพลิงเทียบกับความเข้มข้นที่เกิดการเผาไหม้สมบูรณ์ทางทฤษฎี
- ϕ_1 ค่า Equivalence ratio ที่ห้องเผาไหม้หลัก (Main combustor)
- ϕ_2 ค่า Equivalence ratio ที่ห้องเผาไหม้ทุติยภูมิ (Secondary combustor)
- ϕ_{total} ค่า Equivalence ratio เฉลี่ยทั้งระบบชุดห้องเผาไหม้
- η ค่าสัดส่วนระหว่าง Equivalence ratio ของการไหหกที่หมุนวน (Sw) กับการไหหตามแนวแกน (Ax)
- Prms ค่า rms ของความดันแปรปรวน (Pressure fluctuations) ในห้องเผาไหม้

4. ผลการทดลอง

การนำเสนอผลการวิจัยจะแบ่งออกเป็นสี่ตอน ตามวิธีการดำเนินการวิจัย คือ

- ตอนที่ 1 เป็นการศึกษาพื้นฐานของการสั่นสะเทือนในห้องเผาไหม้รูปที่ 1 เพื่อเป็นข้อมูลอ้างอิงระหว่างห้องเผาไหม้ที่มีรูปแบบเดิมกับห้องเผาไหม้ที่ปรับปูรุ่งใช้การหมุนวนของไอเสีย
- ตอนที่ 2 เป็นการศึกษาการสั่นสะเทือนในห้องเผาไหม้รูปที่ 2
- ตอนที่ 3 เป็นการศึกษาการสั่นสะเทือนในห้องเผาไหม้รูปที่ 3 โดยที่ใช้อากาศที่ไม่มีการเผาไหม้สังผ่านห้องเผาไหม้ทุติยภูมิ
- ตอนที่ 4 เป็นการศึกษาการสั่นสะเทือนในห้องเผาไหม้รูปที่ 3

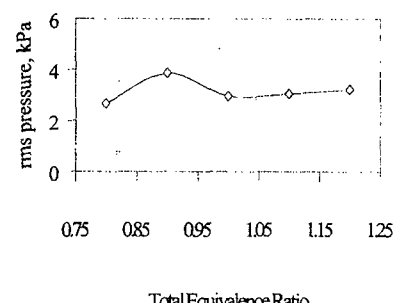
4.1 ผลการทดลองตอนที่ 1

การสั่นสะเทือนในห้องเผาไหม้รูปที่ 1 แสดงให้เห็นว่าการสั่นสะเทือนกิดขึ้นที่ความถี่เดียว (Single-frequency oscillations) ซึ่งความถี่ที่เกิดขึ้นนี้เป็นความถี่ที่สอดคล้องกับหนึ่งในสี่ของความยาวคลื่นเสียงที่วางตัวอยู่ตามความยาวของห้องเผาไหม้ (A quarter-wave

frequency) เนื่องจากห้องเผาไหม้มีลักษณะเป็นปลายเปิดข้างหนึ่ง (ด้านปลาย) และปลายเปิดอีกข้างหนึ่ง (ด้านตัน) และปลายไฟเสียรัตต์อยู่ที่บริเวณใกล้ปลายทางเข้าทำให้บริเวณปลายทางเข้าจะเป็นแอนติโหนดของความดัน (Pressure antinode) จึงเป็นจุดที่ติดตั้ง Pressure transducer

จากการศึกษาที่ผ่านมาในลักษณะของห้องเผาไหม้ที่ (Bhidayasiri, 2000, Bhidayasiri et al., 1998) พบว่าการสั่นสะเทือนจะมีขนาดสูงขึ้นตามค่า Sw เมื่อจากการเพิ่มค่า Sw จะทำให้เปลวไฟเสียรัตต์ตัวอยู่ใกล้บริเวณปลายทางเข้าของห้องเผาไหม้มากขึ้นซึ่งเป็นบริเวณแอนติโหนดของความดัน ทำให้อุณหภูมิในบริเวณดังกล่าวสูงขึ้น ส่งผลทำให้การสั่นสะเทือนสูงขึ้นด้วย (ตามผลลัพธ์ที่อนระหว่างการพัฒนากันของความดันกับความร้อน; กฎ Rayleigh Criteria) และการศึกษาที่ผ่านมาดังกล่าวได้ทำการวิเคราะห์รายละเอียดของ การสั่นสะเทือนในห้องเผาไหม้ที่มีด้วยผลการอัลกอริทึม เลือกภาวะที่การสั่นสะเทือนมีขนาดที่เหมาะสมกับการปรับปรุงและกิดขึ้นในภาวะการใช้งานที่ใกล้เคียงกับในภาคอุตสาหกรรม จึงได้เลือกสภาพภาวะการไหหที่ไม่มีคอกอดที่ปูรุ่งทางออกเนื่องจากทำให้การสั่นสะเทือนมีขนาดสูง หมายแก่การไหหแนวทางปรับลด และที่ค่า Sw ที่ 1.0 ซึ่งไม่รุนแรงจนเกินไปและเป็นค่าที่มักใช้กันในภาคอุตสาหกรรม ค่า Re ที่ 20,000 และสภาพที่มีความเข้มข้นของเชื้อเพลิงในการไหหแบบหมุนวนและแนวแกนที่มีค่าเท่ากัน (Premixed Flow) โดยค่าและภาวะเหล่านี้จะถูกรักษาให้คงที่ตลอดการวิจัยเว้นแต่จะระบุไว้เป็นอย่างอื่น

โดยที่ที่ภาวะนี้ การสั่นสะเทือนในห้องเผาไหม้รูปที่ 1 แสดงอยู่ในรูปที่ 4 ซึ่งจะเห็นได้ชัดว่าการสั่นสะเทือนมีการเปลี่ยนแปลงน้อยระหว่างค่า ϕ ระหว่าง 1.0 ถึง 1.2 หรือมีปริมาตรการไหหของเชื้อเพลิงระหว่าง 55 ถึง 70 ลิตรต่อนาที อย่างไรก็ได้มีผลค่า ϕ ให้ต่ำกว่า 1.0 จะทำให้การสั่นสะเทือนเพิ่มขึ้นเล็กน้อยอาจเนื่องมาจากว่าเสียรัตต์ของปลายไฟลดลง ทำให้การเกิดพ้องกันระหว่างความดันกับความร้อนเพิ่มขึ้น ระดับของการสั่นสะเทือนที่ได้จากการทดลองอยู่ที่ระหว่าง 3-4 kPa ซึ่งถือเป็นขนาดที่เหมาะสมต่อการปรับปรุงในห้องเผาไหม้จำลอง เนื่องจากจะทำให้พลังงานที่เกิดขึ้นจากการสั่นสะเทือนไม่อยู่ในระดับที่สูงเกินไปเมื่อเทียบกับพลังงานที่ป้อนโดยเชื้อเพลิง



รูปที่ 4 การสั่นสะเทือนในห้องเผาไหม้รูปที่ 1,
ปริมาตรคอกอดที่ทางออก, Re=20,000, Sw=1.0, η= 1

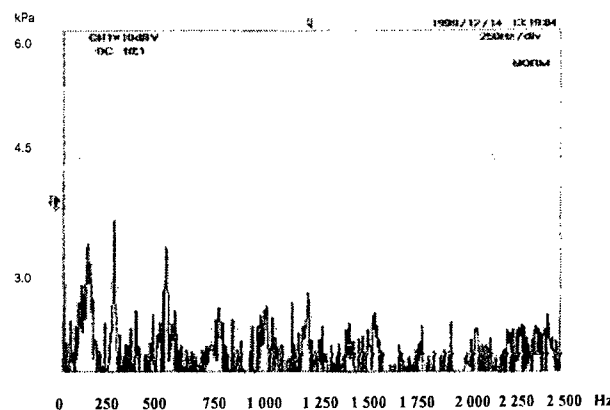
4.2 ผลการทดลองตอนที่ 2

ความพยายามในการนำไอเสียกลับมาเผาใหม่ให้มีอีกครั้งถูกวิเคราะห์เริ่มตัวโดยแนวคิดที่จะดึงไอเสียที่ได้จากการเผาใหม่รีเวนก่อนออกจาก กากถ่ายทางออกของห้องเผาใหม่กลับเข้ามาในบริเวณ Primary zone ใกล้ดีฟฟิวเซอร์ที่เปลวไฟสีเทาตัวอยู่ อย่างไรก็ได้การดึงไอเสียกลับมาโดยกลไกทางธรรมชาติจะเกิดขึ้นได้ ความดันบาริเวนที่จะมีการไหลกลับจะต้องมีขนาดสูงกว่าบริเวณที่จะไหลมา แต่เนื่องจากบริเวณที่จะไหลกลับนี้มีอยู่ใกล้เดียงกันหนอนดองความดันในห้องเผาใหม่ และบริเวณที่จะไหลมาอยู่ใกล้เดียงกันแอนด์โหนด ทำให้การจะไหลกลับมาลงนั้นไม่สามารถเกิดขึ้นได้อ่อง จึงต้องทำให้ความดันในบริเวณที่จะไหลกลับมีความดันเพิ่มมากขึ้น ห้องเผาใหม่จึงปรับปรุงให้มีรูปแบบดังรูปที่ 2 โดยที่บริเวณใกล้ทางออกได้มีความพยายามที่จะเพิ่มความดันโดยติดตั้งคอกอด (Nozzle) เน้าที่ปลายทางออก เพื่อเป็นตัวขัดขวางให้ความดันสูงขึ้นในประการแรก และจะทำให้มีบาริเวนที่เกิดการหมุนวนของโครงสร้างของการไหลหรือ Wake เนื่องจากมีการปรับเปลี่ยนพื้นที่หน้าด้วยมากขึ้น ซึ่งนำไปสู่การเกิดบริเวณที่มีความเร็วเฉลี่ยเป็นศูนย์ อันจะทำให้ความดันในบริเวณทางออกเพิ่มขึ้นโดยปริยาย และความดันจะเพิ่มขึ้นตามขนาดของคอกอด (d) ที่เล็กลง ดังนั้นที่เพิ่มศักยภาพในการนำไอเสียกลับมาได้มากที่สุด ขนาดของคอกอดที่เลือกใช้จึงเลือกขนาดเล็กที่สุด ซึ่งมีสัดส่วนของเส้นผ่าศูนย์กลาง (d/D) เท่ากับ 0.3 และที่ไม่เลือกขนาดของ d/D ที่เล็กกว่านี้ก็ เพราะจะทำให้คุณสมบัติของการเผาใหม่ได้รับการผลกระทบจากบริเวณที่ห้องเผาใหม่รุ่ปที่ 2 โดยที่บริเวณใกล้ทางออกได้มีความพยายามที่จะเพิ่มความดันในบริเวณทางออกเพิ่มมาก และการสั่นสะเทือนก็จะลดลงด้วยเช่นกัน เนื่องจากความร้อนในห้องเผาใหม่ลดลง มีใช้ลดลงจากการนำเอาไอเสียมาเผาใหม่ให้มีอีกครั้ง

อย่างไรก็ได้การเพิ่มความดันที่บริเวณปลายทางออกจะยังไม่ทำให้ความดันเฉลี่ยสูงกว่าค่าที่บริเวณดีฟฟิวเซอร์เนื่องจากขนาดของพื้นที่ที่มีความเร็วเป็นศูนย์ในบริเวณใกล้ดีฟฟิวเซอร์และใกล้ Recirculation zone ย่อมมีขนาดมีใหญ่กว่าบริเวณใกล้ Nozzle แต่โอกาสที่จะมีการไหลกลับจะเกิดขึ้นได้หากความดันของของไหลเฉพาะจุดในบริเวณใกล้ทางออกจะสูงกว่าบริเวณใกล้ดีฟฟิวเซอร์ ซึ่งจะสามารถทำให้มีปริมาณบางส่วนไหลกลับซึ่งอาจเป็นขณะท่องวิเคราะห์รำบวามาที่ไฟฟ้ากลับไฟนั้นเกิดขึ้นจริงหรือมีขนาดพอเพียงหรือไม่ การทดลองจึงเริ่มขึ้นด้วยการศึกษาลักษณะของการสั่นสะเทือนและการเผาใหม่ในห้องเผาใหม่รุ่ปที่ 2 โดยแบ่งพารามิเตอร์ศึกษาที่อยู่ที่ชี้พิสัยของการหมุนวนผวนผัน (Swirl), อิทธิพลของขนาดคอกอด (Nozzle)

จากการวัดลักษณะของการสั่นสะเทือนในห้องเผาใหม่พบว่า การสั่นสะเทือนยังคงมีลักษณะเด่นที่ความถี่เดียว (Single-frequency oscillations) เมื่อมีในห้องเผาใหม่รุ่ปที่ 1 ซึ่งเป็นความถี่ที่สอดคล้องกับหนึ่งในสี่ของความยาวคลื่นในห้องเผาใหม่นั้นคือที่ 130 Hz อย่างไรก็ได้สเปกตรัมของความดันประมวลในห้องเผาใหม่แสดงให้เห็นว่ามีการกระจายการสั่นสะเทือนที่ความถี่ของข้างมากขึ้น ทั้งนี้อาจเนื่องจากบางส่วนของคลื่นความดันมีการเสถียรตัวเข้าไปบังบริเวณปลายห้องของห้องเผาใหม่ ทำให้การสั่นสะเทือนที่ความถี่อื่นๆ มีขนาดสูงขึ้น ดังแสดงในรูปที่ 5 แต่โดยสรุปแล้วจะเห็นว่าการที่มีห้องเผาเพื่อนำไอเสียกลับมาใช้เผาใหม่ให้มีขนาดใหญ่เด่นทำให้ลักษณะของการสั่นสะเทือนเปลี่ยน

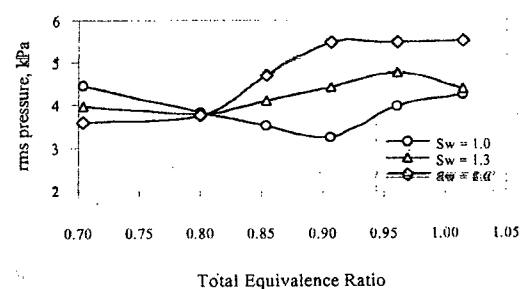
แปลงไปมาก หรือการสั่นสะเทือนยังคงขึ้นอยู่กับขนาดของห้องหลัก เป็นหลัก



รูปที่ 5 สเปกตรัมความดันในห้องเผาใหม่รุ่ปที่ 2

ปราศจากคอกอดที่ทางออก $d/D=1$, $Re=20,000$, $Sw=1.0$, $\theta=1$

จากรูปที่ 6 พบว่าการเพิ่มค่า Swirl number (Sw) จาก 1.0 เป็น 2.0 ทำให้ภาพรวมของการสั่นสะเทือนมีขนาดสูงขึ้น สอดคล้องกับการคั่นพบในอดีตของ Fernandes และ Heitor (1990) ดังจะเห็นได้ ตามแนวโน้มของการสั่นสะเทือนที่เกิดขึ้นที่ ϕ สูงกว่า 0.8 โดยการเพิ่มค่า Sw จาก 1.0 เป็น 2.0 ที่ ϕ ประมาณ 0.9 ทำให้การสั่นสะเทือนมีขนาดเพิ่มขึ้นจาก 3.2 เป็น 5.5 kPa อย่างไรก็ได้ที่ ϕ ระหว่าง 0.7 ถึง 0.8 นั้นการเพิ่มขนาดของ Sw ทำให้การสั่นสะเทือนลดลงเล็กน้อยอาจเนื่องจากที่ ϕ ใกล้กับ 0.7 เป็นบริเวณใกล้ขอบเขตส่วนผสมบางของห้องเผาใหม่ซึ่งเปลวไฟมีเสถียรภาพต่ำและการเพิ่มค่า Sw ทำให้เสถียรภาพของเปลวไฟดีขึ้นเนื่องจากความร้อนสูงขึ้น จึงทำให้ความแปรปรวนของความดันลดลงจาก 4.5 เป็น 3.5 kPa ที่ ϕ เท่ากับ 0.7

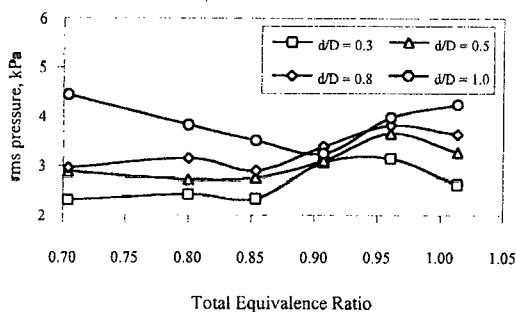


รูปที่ 6 ผลของการหมุนวนของส่วนผสมต่อการสั่นสะเทือน ในห้องเผาใหม่รุ่ปที่ 2 ปราศจากคอกอดที่ทางออก $d/D=1$, $Re=20,000$, $\theta=1$

$R_e=20,000$, $\theta=1$

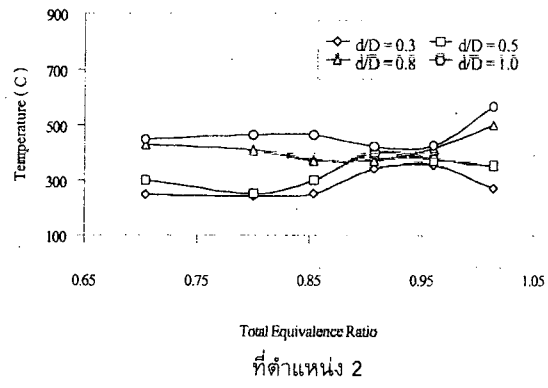
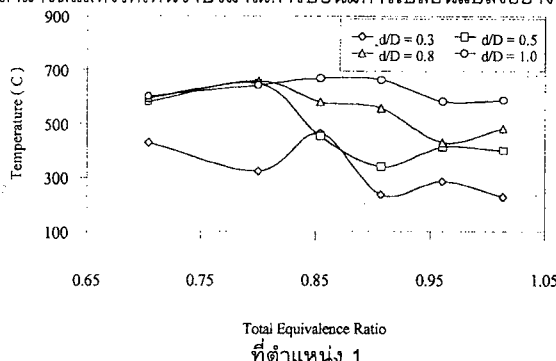
สำหรับการเปลี่ยนแปลงขนาดของคอกอดที่ปลายทางออก (Nozzle) นั้น การลดขนาดที่รู้ทางออกทำให้การสั่นสะเทือนมีขนาดลดลงตามลำดับและจากรูปที่ 7 จะเห็นได้ชัดเจนว่าที่ ϕ เท่ากับ 0.7 การลดขนาดสัดส่วนคอกอด d/D จาก 1.0 เป็น 0.3 ทำให้การสั่นสะเทือน

ลดลงจาก 4.5 เป็น 2.3 kPa แต่การลดลงของการสั่นสะเทือนนี้จะเกิดขึ้นพร้อมกับภาวะที่การเผาไหม้มีอัตราการเกิดปฏิกิริยาลดลงและความสมบูรณ์ลดลงเนื่องจากจะสังเกตุเห็นได้ว่าเปลวไฟจะมีขนาดยาวขึ้นและเปลวไฟกล้ายเป็นสีส้มมากขึ้น อันเป็นสิ่งที่ไม่พึงประสงค์ในการเผาไหม้ ซึ่งคล้ายกับผลการทดลองที่ได้ศึกษาในห้องเผาไหม้รูปที่ 1 ของ Bhidayasiri, 2000 ดังนั้นจึงยังไม่สามารถชี้นำได้ว่าการใช้คอกอตที่ปลายทำให้เกิดการไฟลอกับของไออกไซด์หรือไม่ จึงจำเป็นที่ต้องมีการวัดอุณหภูมิและของค่าประกอบของไออกไซด์เช่น CO และ CO_2 ตามตำแหน่งต่างๆ ของห้องเผาไหม้ดังรายละเอียดในรูปที่ 2 เพื่อยืนยันว่ามีปริมาณไออกไซด์ไฟลอกับหรือไม่



รูปที่ 7 ผลของสัดส่วนคอกอตทางออกต่อการสั่นสะเทือน ในห้องเผาไหม้รูปที่ 2 $Re=20,000$, $Sw=1.0$, $\eta=1$

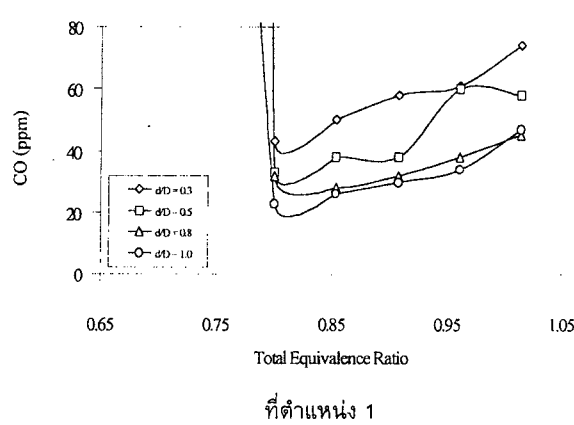
จากรูปที่ 2 จะเห็นว่าตำแหน่งที่ 1 คือตำแหน่งใกล้ดีฟฟิวเซอร์บริเวณที่เปลวไฟเต็มตัวและตำแหน่งที่ 2 คือตำแหน่งใกล้บริเวณคอกอตทางออกของห้องเผาไหม้ จากรูปที่ 8 ซึ่งแสดงอุณหภูมิที่วัด ณ ตำแหน่ง 1 และ 2 ขณะที่ใช้คอกอตขนาดต่างๆ จะเห็นว่าแทบทะทุกขนาดของคอกอต อุณหภูมิที่ตำแหน่ง 1 สูงกว่าตำแหน่ง 2 ด้วยขนาดประมาณ 100-200 K มีเพียงสภาวะที่ใช้คอกอตขนาดเล็กที่สุดและ ϕ สูงกว่า 0.9 ที่อุณหภูมิตำแหน่งที่ 2 สูงกว่าตำแหน่งที่ 1 ซึ่งอาจเกิดจากการที่เปลวไฟซึ่งยาวขึ้นจากการใช้คอกอตที่ปลายน้ำทางออกทำให้เปลวไฟบางส่วนเข้าไปในบริเวณห้องเผาไหม้ แต่โดยสรุปแล้วการที่อุณหภูมิที่ตำแหน่งที่ 1 ส่วนใหญ่สูงกว่าตำแหน่งที่ 2 และดังว่าไม่มีการไฟลอกับเกิดขึ้นจริง เพราะหากมีการไฟลอกับการไฟลอกับการไฟลอกับที่อยู่ในห้องเผาไหม้เป็นไออกไซด์อันเดียวแก้ไขและนำไปใช้ก็จะมีอุณหภูมิไฟลอกับที่ต่ำกว่าห้องเผาไหม้ แต่ทั้งนี้ก็ยังไม่สามารถสรุปได้ชัดเจน จนกว่าจะวิเคราะห์ร่วมกันค่า CO และ CO_2 ซึ่งสามารถแสดงให้เห็นว่าปริมาณคาร์บอนมีการเปลี่ยนแปลงอย่างไร

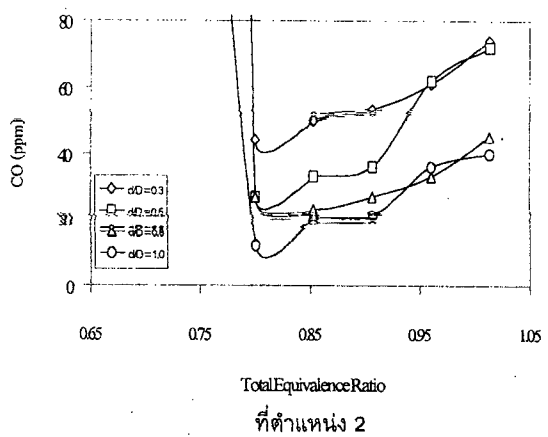


รูปที่ 8 อุณหภูมิที่ตำแหน่ง 1 และ 2 ในห้องเผาไหม้รูปที่ 2

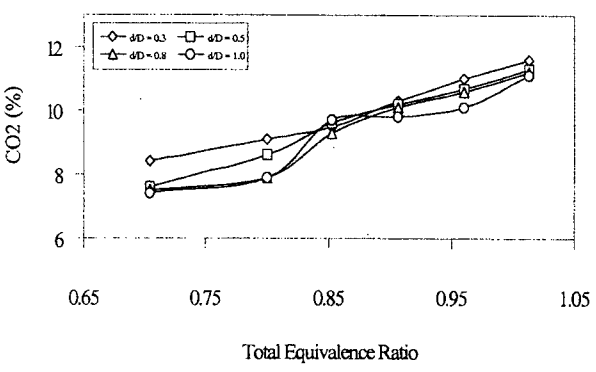
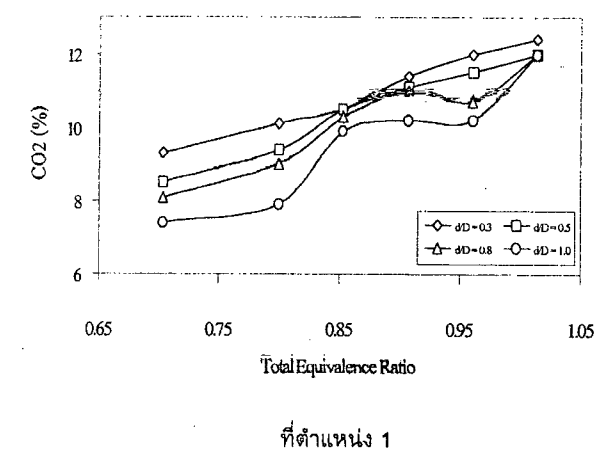
$$Re=20,000, Sw=1.0, \eta=1$$

รูปที่ 9 และ 10 แสดงค่า CO และ CO_2 ตามลำดับในภาวะเดียวกันกับในรูปที่ 8 แสดงให้เห็นว่าค่า CO ที่ตำแหน่ง 1 สูงกว่าที่ตำแหน่ง 2 ในภาวะ d/D มากกว่า 0.8 (คอกอตมีรูขนาดใหญ่และไม่มีคอกอต) และค่า CO ที่ตำแหน่ง 1 และ 2 มีขนาดใกล้เคียงกันในกรณีที่คอกอตมีค่า d/D น้อยกว่า 0.5 (คอกอตมีรูขนาดเล็ก) และสำหรับค่า CO_2 จะเห็นได้ชัดว่าที่ภาวะ d/D น้อยกว่า 0.5 ค่า CO_2 ที่ตำแหน่ง 1 มีขนาดสูงกว่าที่ตำแหน่ง 2 ส่วนที่ขนาดคอกอตอื่นๆ นั้นมีขนาดใกล้เคียงกัน จึงสามารถสรุปได้ว่าเมื่อใช้คอกอตที่มีขนาดรูทางออกเล็กจะทำให้ทั้งอุณหภูมิ CO และ CO_2 ที่ตำแหน่ง 1 สูงกว่าตำแหน่ง 2 ชัดเจน ซึ่งหากมีการไฟลอกับอันดับต่อไปจริงคุณสมบัติทั้งสามควรมีค่าไฟลอกับที่ต่างกันแต่จากผลที่ได้ชี้ว่าสามารถขยายความจากข้อเท็จจริงที่ว่าอุณหภูมิ CO และ CO_2 ในบริเวณ Primary zone มีขนาดมากกว่าในบริเวณทางออก จึงเป็นข้อสังเกตุว่าการไฟลอกับในห้องเผาไหม้จะมีทิศทางเดียวกับในห้องหลัก คือไฟลอกับปลายทางเข้ามาปลายทางออก มิได้มีการไฟลอกับอันดับต่อไปจริง ดังนั้นจึงต้องมีการปรับปรุงห้องเผาไหม้และหาแนวทางใหม่เพื่อให้สามารถนำไออกไซด์กลับย้อนกลับได้จริง





รูปที่ 9 ความเข้มข้นของคาร์บอนออกไซด์ที่ต่ำแห่ง 1 และ 2
ในห้องเผาไหม้รูปที่ 2 $Re=20,000$, $Sw = 1.0$, $\theta = 1$



รูปที่ 10 ความเข้มข้นของคาร์บอนไดออกไซด์ที่ต่ำแห่ง 1 และ 2
ในห้องเผาไหม้รูปที่ 2 $Re=20,000$, $Sw = 1.0$, $\theta = 1$

4.3 ผลการทดลองตอนที่ 3

จะเห็นได้ว่าการออกแบบห้องเผาไหม้ในรูปที่ 2 ไม่สามารถนำไออกลัมมาใช้ใหม่สำหรับห้องเผาไหม้ที่มีลักษณะเป็นแกน

ยาวโดยมีความดันที่ตันทางสูงที่สุดและมีความดันที่ปลายทางเป็นความดันบรรยายกาศ อาจจำเป็นต้องมีระบบดูดไออกลัมมา ซึ่งจะต้องลงทุนสูงมากและทำให้บริเวณที่ถูกดูดไออกลัมมีเสียงและเพิ่มความดันกลับเข้าใหม่ ซึ่งก็คือในบริเวณท่อข้างมีความดันหันหัวมากซึ่งอาจส่งผลกระทบต่อลักษณะความดันในการสั่นสะเทือนของห้องเผาไหม้หลัก และทำให้ลักษณะการสั่นสะเทือนเปลี่ยนไป อันทำให้ธรรมชาติของบัญหาที่ศึกษาเปลี่ยนไปอย่างที่รู้

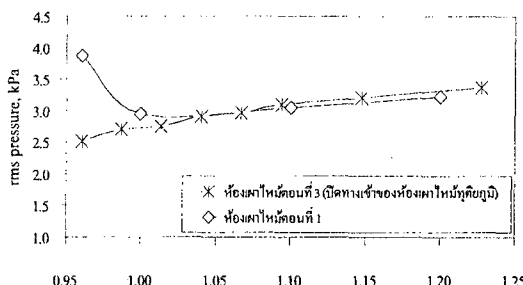
การศึกษาจึงมีแนวคิดว่าจะจำลองไออกลัมมาใช้ใหม่จากไออกลัมที่ได้จากการห้องเผาไหม้ออกตัวหนึ่งโดยการสร้างห้องเผาไหม้ออกตัวหนึ่ง(ห้องเผาไหม้ทุติยภูมิ) และส่งไออกลัมที่ได้จากการห้องเผาไหม้มันนั่นกลับเข้าสู่ห้องเผาไหม้ที่น้ำเอ้าไออกลัมไปยังบริเวณ Primary Zone ของห้องเผาไหม้หลัก ซึ่งแน่นอนว่าการไหลที่เกิดในห้องเผาไหม้จะต้องเป็นการไหลจากห้องเผาไหม้ทุติยภูมิไปยังห้องเผาไหม้หลักเพื่อระเบิดการไหลที่มีทางออกทางเดียวคือการออกที่ปลายของห้องเผาไหม้หลัก นั้นก็คือเป็นการไหลที่นำผลผลิตจากการเผาไหม้หรือไออกลัมเข้าเผาไหม้ใหม่ได้เพื่อบรรลุแนวคิดนี้ จึงได้ทำการออกแบบห้องเผาไหม้รูปที่ 3

อย่างไรก็ได้การจำลองนำเอ้าไออกลัมมาใช้ใหม่อย่างสัมบูรณ์เพราบประมาณการให้ลมได้มีการวนเป็นวงรอบ อย่างไรก็ได้การทดลองนี้พยายามจำลองให้มีรูปแบบที่คล้ายที่สุดโดยการแบ่งปริมาตรการไหลในห้องเผาไหม้ทั้งสองให้มีผลรวมเท่ากับปริมาตรการไหลในการทดลองกับห้องเผาไหม้หลักอย่างเดียว (รูปที่ 1) ทำให้ปริมาตรการไหลที่ถูกรวมกันก่อนออกจากห้องเผาไหม้มีค่าเท่ากับปริมาตรในกรณีที่มีห้องเผาไหม้หลักอย่างเดียว นอกจากนี้การใช้บริมาณเชื้อเพลิง (Total fuel) ในการทดลองกับห้องเผาไหม้รูปที่ 1 แล้ว 5 มีขนาดเท่ากัน เพื่อให้การเปรียบเทียบการเปลี่ยนแปลงการสั่นสะเทือนในห้องเผาไหม้หลักได้บนพื้นฐานเดียวกัน

การทดลองในห้องเผาไหม้รูปที่ 3 ได้ริมขึ้นเพื่อศึกษาลักษณะทั่วไปของการสั่นสะเทือนในห้องเผาไหม้ก่อน ทั้งนี้เพรารูปทรงเรขาคณิตของห้องเผาไหม้ได้ถูกต่อเติมโดยมีห้องสูญน้ำกับแกนห้องเผาไหม้หลักและเชื่อมโยงไปห้องเผาไหม้ออกตัวหนึ่งทำให้การสั่นสะเทือนคลื่นความดันอาจเปลี่ยนไปโดยบางส่วนของคลื่นอาจสั่นสะท้อนในห้องเผาไหม้หลักและเชื่อมโยงกับห้องเผาไหม้ออกตัวหนึ่งทำให้การสั่นสะเทือนของคลื่นความดันอาจเปลี่ยนไปโดยบางส่วนของคลื่นอาจสั่นสะท้อนในห้องเผาไหม้หลักและเชื่อมโยงกับห้องเผาไหม้ออกตัวหนึ่งในห้องเผาไหม้หลักเพียงอย่างเดียวและไม่มีการเผาไหม้ใดๆในห้องเผาไหม้ทุติยภูมิโดยเส้นทางจากห้องเผาไหม้หลักที่มีห้องเผาไหม้ทุติยภูมิทำให้เป็นระบบปิดไม่มีการไหลได้ๆเข้าหรือออกในเส้นทางนั้น เว้นแต่ในห้องเผาไหม้หลักอย่างเดียว ทำให้การไหลมีเส้นทางจากทางเข้าห้องเผาไหม้หลักสู่บริเวณทางออกเท่านั้น

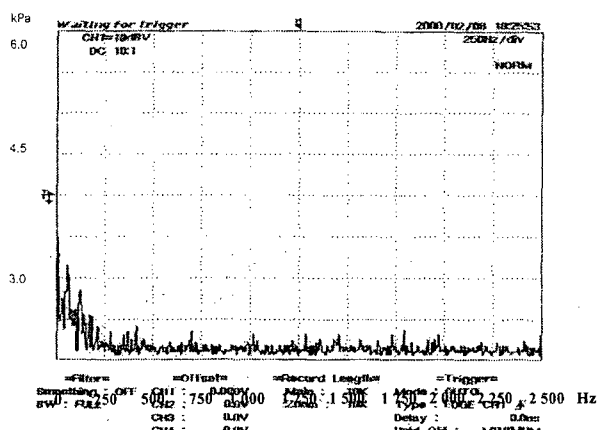
จากการทดลองในรูปที่ 11 พบว่าลักษณะของการสั่นสะเทือนซึ่งวัดที่ปลายทางเข้าของห้องเผาไหม้หลักยังคงมีความถี่ที่เด่นชัดค่าเดียวโดยมีความยาวคลื่นเป็นขนาดสี่เท่าของความยาวของห้องเผาไหม้ทั้งหมดซึ่งก็คือความถี่ที่ 163 Hz และลักษณะของสเปกตรัมแสดงให้เห็นว่าการสั่นสะเทือนที่ความถี่นี้มีขนาดไม่มากนักเมื่อเทียบกับความถี่ที่เด่น แสดงให้ทราบว่าการสั่นสะเทือนยังคงเกิดขึ้นตามอัธิพลดังแกนห้องเผาไหม้หลัก ซึ่งก็อ่าวการปรับปรุงห้องเผาไหม้ให้

มีท่อที่นำเอาไปเสียมาเพาใหม่ไม่ได้ทำให้ลักษณะโดยรวมของ การสั่นสะเทือนเปลี่ยนแปลงไปมาก ซึ่งจากการเบรียบเทียบในรูปที่ 11 จะเห็นว่าขนาดของการสั่นสะเทือนในห้องเผาใหม่รูปที่ 1 และ 3 มีขนาดใกล้เคียงกัน



รูปที่ 11 การเบรียบเทียบการสั่นสะเทือนระหว่างห้องเผาใหม่รูปที่ 1 และ 3 (กรณีปิดทางเข้าของห้องเผาใหม่ทุกอุปกรณ์)
ปราศจากคอกออดทางออก, $Re=20,000$, $Sw=1.0$, $\phi=1$

อย่างไรก็ต้องการที่ลักษณะทั่วไปของการสั่นสะเทือนไม่เปลี่ยน แปลงเมื่อมีท่อข้างและชุดห้องเผาใหม่ทุกอุปกรณ์ดังในรูปที่ 3 นั้นอาจเกิด จากเหตุผลที่มิได้มีการไฟลเกิดขึ้นในท่อข้างและชุดห้องเผาใหม่ทุก อุปกรณ์ แต่ลักษณะการสั่นสะเทือนอาจเปลี่ยนแปลงได้หากมีการไฟลเกิด ขึ้นในท่อชุดดังกล่าว ดังนั้นจึงได้ทำการทดลองโดยเพาใหม่เชือเพลิง และอากาศในห้องเผาใหม่หลักและส่งอากาศอย่างเดียวผ่านห้องเผาใหม่ทุกอุปกรณ์และเปรียบเทียบลักษณะการสั่นสะเทือนในการณ์ที่ใช้ ปริมาณเชือเพลิงที่เท่ากัน และจากผลการทดลองในรูปที่ 12 พบว่าการ สั่นสะเทือนมีลักษณะคล้ายกับการสั่นสะเทือนที่มีห้องเผาใหม่หลักอย่าง เดียว (รูปที่ 1) และกรณีที่มีชุดห้องเผาใหม่ทุกอุปกรณ์ (รูปที่ 3) แต่ปิด ห้องเผาใหม่ไว้คือมีความถี่ที่เด่นค่าเดียวซึ่งเป็นความถี่ที่มี ความยาวคลื่นเท่ากับสี่เท่าของความยาวรวมของห้องเผาใหม่หลัก แสดงว่าปริมาณเรขาคณิตที่ออกแบบไว้ดังรูปที่ 3 มิได้ทำให้ลักษณะการ สั่นสะเทือนในห้องเผาใหม่หลักเปลี่ยนไป



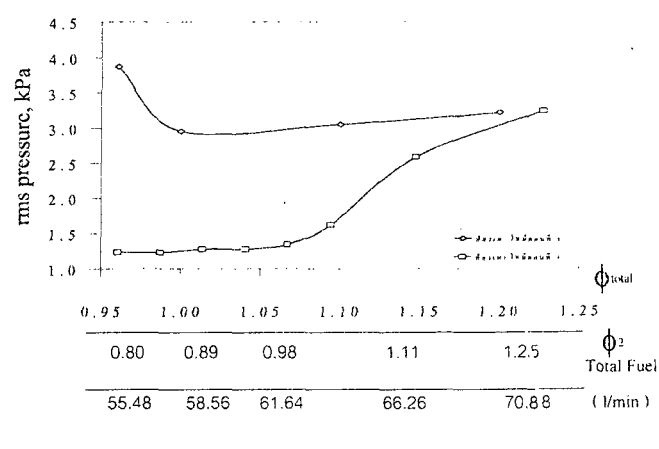
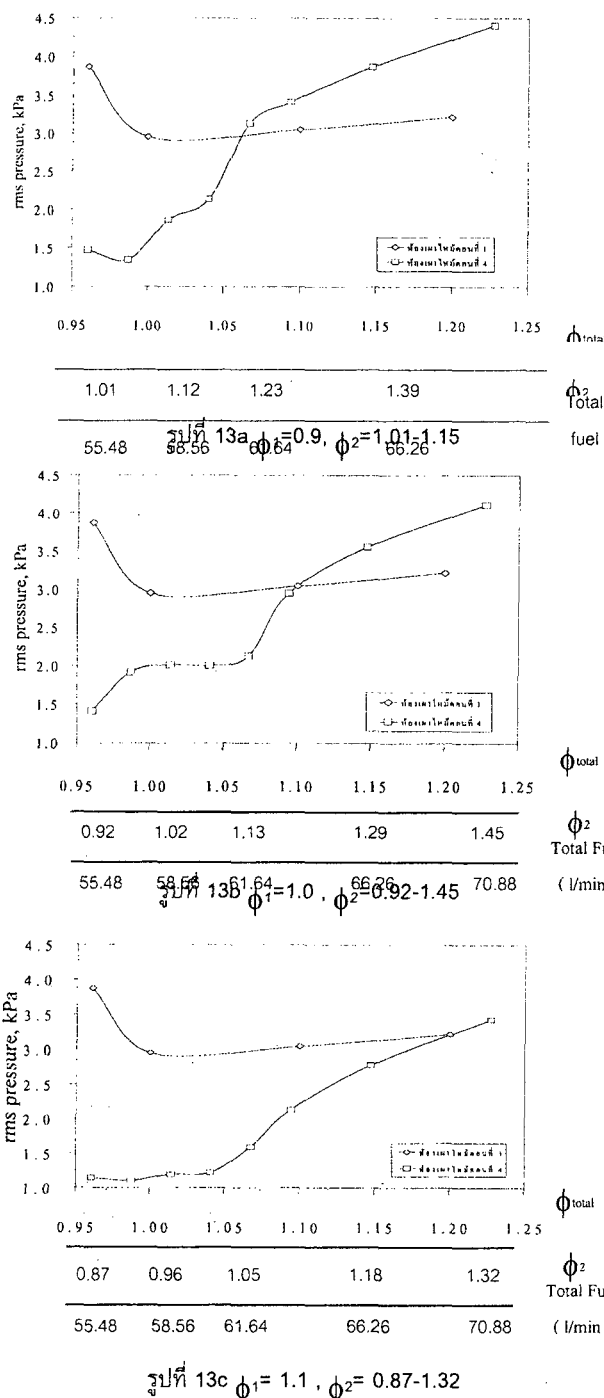
รูปที่ 12 สเปกตรัมทางความดันในห้องเผาใหม่หลักของชุดห้องเผาใหม่
รูปที่ 3 ปราศจากคอกออดที่ทางออก $d/D=1$, $Re=20,000$, $Sw=1.0$,

$$\phi = 1, \gamma = 1$$

4.4 ผลการทดลองตอนที่ 4

อย่างไรก็ต้องทำการทดลองโดยให้มีการเผาใหม่เกิดขึ้นใน ห้องเผาใหม่ทั้งสองตัวโดยสร้างไอน้ำเสียจากห้องเผาใหม่ทุกอุปกรณ์ ย่อมจะ ต้องมีการสั่นสะเทือนเกิดขึ้นในห้องเผาใหม่ทุกอุปกรณ์และท่อข้างด้วย การแสดงถึงการสั่นสะเทือนในระบบที่มีการเผาใหม่ในทั้งสองห้องเผาใหม่ซึ่งต้องแสดงค่ารวมของการสั่นสะเทือนทั้งระบบด้วยการอินทิเกรตขนาดการสั่นสะเทือนที่เกิดขึ้นที่ห้องเผาใหม่ทุกอุปกรณ์และท่อข้าง โดยจะต้องพิจารณาถึงการสั่นสะเทือนที่เกิดขึ้นที่ห่อข้างเป็นส่วนเดียว กับกับของห้องเผาใหม่ทุกอุปกรณ์หรือไม่ และการสั่นสะเทือนในห้องเผาใหม่ทุกอุปกรณ์ย่อมมีลักษณะเช่นเดียวกันในห้องเผาใหม่หลักเนื่องจาก เป็นห้องเผาใหม่ที่ปลายหนึ่งเปิดอีกปลายหนึ่งปิด และจากการวัดความดันในห้องเผาใหม่ทุกอุปกรณ์และท่อข้างพบว่าการสั่นสะเทือนยังคงมี ลักษณะเด่นที่ความถี่เดียว และมีความถี่ที่ 110 Hz ซึ่งเป็นความถี่ที่ สอดคล้องกับห้องเผาใหม่หลัก ดังนั้นผลการทดลองต่อไปจะนำเสนอ ขนาดการสั่นสะเทือนที่เป็นของห้องเผาใหม่หลักและของทั้งระบบเทียบ กับการสั่นสะเทือนในกรณีที่มีห้องเผาใหม่หลักอย่างเดียวซึ่งไม่มีการนำ ไอน้ำเสียกลับมาเผาใหม่และที่ปริมาณเชือเพลิงเท่ากัน

จากการทดลองเมื่อทำการเผาใหม่ในห้องเผาใหม่ทั้งสองโดย แบรคต์ ϕ ในห้องเผาใหม่ทุกอุปกรณ์ระหว่าง 0.8 และ 1.5 และ ϕ ในห้องเผาใหม่หลักระหว่าง 0.9 และ 1.2 ที่ต้องแบรคต์ ϕ ในช่วงดังกล่าวก็ เพราค่าของขนาดของห้องเผาใหม่ทุกอุปกรณ์ที่ ϕ ประมาณ 0.8 และของห้องเผาใหม่หลักอยู่ที่ ϕ ประมาณ 0.9 การแบรคต์ดังกล่าวเป็น ค่าในช่วงส่วนผสมบางที่สุดเท่าที่ทำได้และเป็นเจตนาของผู้วิจัยเนื่อง จากการเผาใหม่ที่ส่วนผสมบางกว่าจะทำให้ไอน้ำเสียมีส่วนประกอบ ของคาร์บอนไฮเดรตอยู่ที่สุดซึ่งจะเป็นประโยชน์ต่อการเผาใหม่และ ลดการสั่นสะเทือน และจากรูปที่ 13 ได้แสดงผลการทดลองที่เปรียบ เทียบการสั่นสะเทือนในรูปที่ 3 กับรูปที่ 1 กับปริมาณเชือเพลิงในห้องเผาใหม่ทุกอุปกรณ์ โดยมีค่าปริมาณเชือเพลิงในห้องเผาใหม่หลักที่ค่า ต่างๆ คือ 0.9, 1.0, 1.1 และ 1.2 และเห็นได้ว่าขนาดการสั่นสะเทือน สามารถลดลงได้เมื่อมีการนำไอน้ำเสียมาเผาใหม่ในห้องเผาใหม่หลักโดย ที่ทุกค่า ϕ ในห้องเผาใหม่หลัก การสั่นสะเทือนจะลดลงมากที่สุดในช่วง ปริมาณเชือเพลิงรวมที่ต่ำหรือที่ส่วนผสมในห้องเผาใหม่ทุกอุปกรณ์ที่บาง โดยที่เมื่อห้องเผาใหม่หลักมีส่วนผสมที่ Stoichiometry ช่วงของการลด ลงของการสั่นสะเทือนอยู่ที่ค่า ϕ เฉลี่ยของทั้งระบบระหว่าง 0.96 ถึง 1.06 (รูปที่ 13b) และช่วงนี้จะกว้างมากขึ้นเมื่อส่วนผสมในห้องเผาใหม่ทุกอุปกรณ์บางลงซึ่งจะทำให้ส่วนผสมในห้องเผาใหม่หลักหนาขึ้นเนื่อง จากรปริมาณเชือเพลิงทั้งหมดที่ใช้ในระบบมีค่าคงที่



รูปที่ 13d $\phi_1=1.2$, $\phi_2=0.8-1.25$

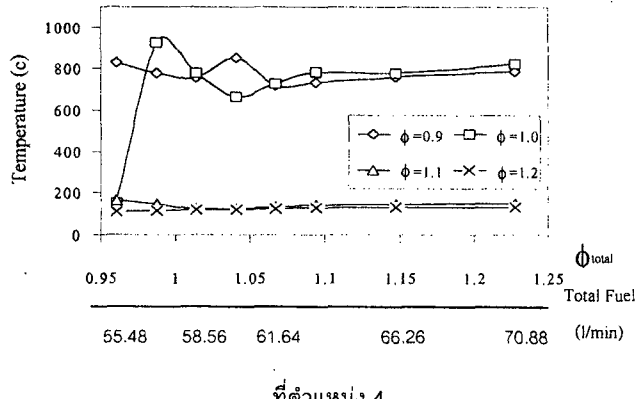
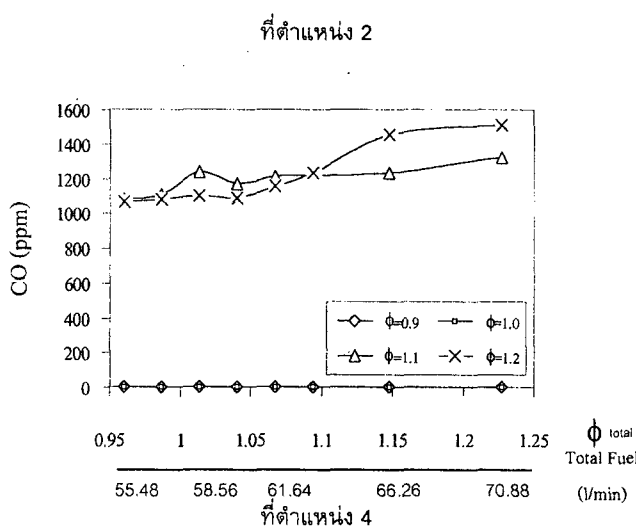
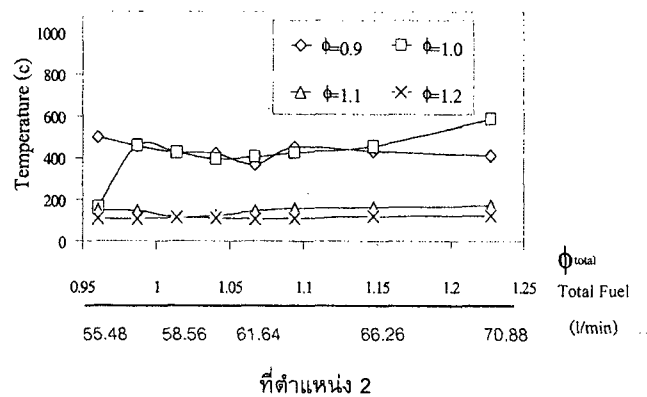
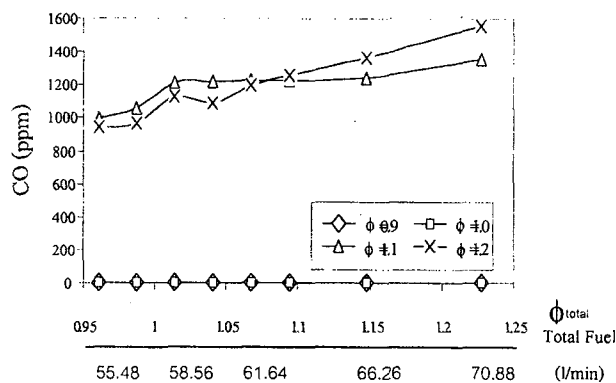
รูปที่ 13 การเปรียบเทียบการสั่นสะเทือนระหว่างห้องเผาไฟร้า

รูปที่ 1 และ 3 ปราศจากค่าคงที่ทางออก $d/D=1$, $Re=20,000$.

$$Sw=1.0, \eta=1$$

ผลการทดลองข้างต้นนี้ให้เห็นว่าการนำเอาไฮเดรอกลัมมาใช้ใหม่สามารถทำให้การสั่นสะเทือนลดลงได้ถึงแม้ว่าการสั่นสะเทือนในกรณีที่มีการใช้ไฮเดรอกลัมมาเผาไฟใหม่จะได้รวมເຂານหาดความดันในห้องเผาไฟใหม่ทุกภูมิรวมด้วยก็ตาม ซึ่งการลดลงของการสั่นสะเทือนน่าจะเกิดจากเหตุผลที่ว่าอุณหภูมิไอล์กับตำแหน่งแอนด์โหนดของความดันในห้องเผาไฟใหม่หลักลดลง อันเป็นผลสืบเนื่องจากความเข้มข้นของอะตอมของคาร์บอนในบริเวณไอล์ Primary zone ลดลง ดังนั้นการจะยืนยันสาเหตุของการลดลงของการสั่นสะเทือนจึงควรทำการวัดองค์ประกอบของอะตอมของคาร์บอน เช่น ก้าชคาร์บอนมอนอกไซด์, ก้าชคาร์บอนไดออกไซด์ รวมทั้งอุณหภูมิในบริเวณต่างๆ แต่ด้วยข้อจำกัดของอุปกรณ์เครื่องมือวัดที่ทนอุณหภูมิได้เพียงประมาณ 1,200 K การวัดจึงกระทำในบริเวณ 2 จุดบนหัวข้างที่นำไปเสียจากห้องเผาไฟใหม่ทุกภูมิซึ่งก็คือตำแหน่งที่ไอล์กับทางเข้าห้องเผาไฟใหม่หลักดังเช่นตัวແண່ງที่ 1 ในรูปที่ 2 และตำแหน่งที่หัวออกไปดังเช่นตัวແண່ງที่ 2 ในรูปที่ 9 เช่นกัน

ในการวัดก้าชคาร์บอนมอนอกไซด์ ดังผลการทดลองในรูปที่ 14 แสดงให้เห็นว่าที่ความเข้มข้นของไฮเดรอกลัมต่ำกว่า $\phi_{\text{Total Fuel}} = 1.0$ (Stoichiometry (0.9 และ 1.0)) การเผาไฟจากห้องเผาไฟใหม่ทุกภูมิเกิดขึ้นอย่างสมบูรณ์ (ไม่มีการเกิดก้าชทั้งสอง) และเมื่อความเข้มข้นของไฮเดรอกลัมสูงขึ้น ความเข้มข้นของก้าชทั้งสอง จะ ตำแหน่งทั้งสองมีค่าใกล้เคียงกันแต่ความเข้มข้นของก้าชในตำแหน่งที่ไอล์กับทางเข้าของห้องเผาไฟใหม่หลัก (ตำแหน่งที่ 1) มีขนาดต่ำกว่ามากถึง 10 % โดยเฉลี่ย ซึ่งคาดว่าเป็นเพราะปริมาณของคาร์บอนต่อมวลอากาศรวมที่เกิดจากห้องเผาไฟใหม่ทั้งสองมีขนาดลดลงทำให้ผลผลิตของก้าชทั้งสองลดลงในบริเวณ Primary zone และส่งอิทธิพลในปริมาณก้าชทั้งสองที่ตำแหน่งที่ 1 ลดลง ซึ่งสันนิษฐานได้ว่าอุณหภูมิในบริเวณ Primary zone ถูกทำให้ลดลงด้วย



รูปที่ 14 ความเข้มข้นของคาร์บอนมอนอกไซด์ในชุดห้องเผาใหม่รูปที่ 3
ปราศจากคอกอตที่ทางออก $d/D=1$, $Re=20,000$, $Sw=1.0$, $\eta=1$

นอกจากนั้นแล้วอุณหภูมิในบริเวณตำแหน่งดังกล่าวซึ่งแสดงในรูปที่ 15 ยังแสดงให้เห็นว่าอุณหภูมิที่ค่าความเข้มข้นของเชื้อเพลิง เข้าใกล้และประมาณ Stoichiometry มีค่าสูงสุดซึ่งลดลงกับอุณหภูมิของการเผาไหม้และการเพิ่มของความเข้มข้นของเชื้อเพลิงเพียงเล็กน้อยท่าให้อุณหภูมิลดลงอย่างเห็นได้ชัดจาก 800 K เป็นค่าที่ต่ำกว่า 200 K และแสดงให้เห็นว่าอุณหภูมิมีความอ่อนไหวกับค่าความเข้มข้นของเชื้อเพลิงมาก และการปรับเปลี่ยนความเข้มข้นเชื้อเพลิงซึ่งมีความสำคัญต่อการลดขนาดการสันสะเทือนดังที่แสดงในผลการทดลองข้างต้น และผลการวัดอุณหภูมิยังแสดงให้เห็นว่าอุณหภูมิที่ตำแหน่งที่ 1 มีค่าต่ำกว่าที่ตำแหน่งที่ 2 มากถึงประมาณ 30-40 % โดยน่าที่จะมาจากการเผาไหม้ที่บริเวณ Primary zone ที่มีความเข้มข้นของคาร์บอนลดลงและมีอุณหภูมิลดลงซึ่งเป็นอثرหลักที่สำคัญมากต่อผลที่แตกต่างระหว่างตำแหน่งทั้งสอง โดยหากไม่มีผลเช่นนี้กําชื่อในท่อข้างซึ่งเป็นกําชปริมาณเดียวกันมาจากการหลังกำเนิดห้องเผาใหม่เดียวกันย่อมต้องมีคุณสมบัติและอุณหภูมิใกล้เคียงกัน

รูปที่ 15 อุณหภูมิในชุดห้องเผาใหม่รูปที่ 3

ปราศจากคอกอตที่ทางออก $d/D=1$, $Re=20,000$, $Sw=1.0$, $\eta=1$

5. บทสรุปและวิจารณ์

ห้องเผาใหม่กําเทอเรียนโดยปกติมักมีปร่างขาวโดยมีบริเวณที่กำเนิดปฏิกิริยาความร้อนและ/หรือบริเวณที่เปลวไฟเสถียรตัวอยู่ในบริเวณทางด้านท้าให้การกระจายความร้อนในห้องเผาใหม่ซึ่งมีลักษณะของอุณหภูมิลดลงตามแกนของห้องเผาใหม่ อุณหภูมิจึงมักมีค่าสูงที่สุดในบริเวณใกล้กับแอนติโหนดของความดัน การสันสะเทือนที่ถูกเหนี่ยวนำจาก การกำทอนระหว่างความดันกับความร้อนจึงมักมีขนาดรุนแรง (Bhidayasiri, 1998) และการลดลงของการสันสะเทือนสามารถทำได้ยาก ไม่ว่าการปรับเปลี่ยนลักษณะของห้องเผาใหม่กำลังก้าวไปสู่ทางด้านของเทคโนโลยีที่ถูกจำกัดเพื่อให้ประสิทธิภาพเชิงความร้อนที่สูง การควบคุมแบบแยกตัวที่ฟิกสามารถทำได้ด้วยเนื่องจากพลังงานที่ป้อนเข้าไปลดพลังงานจากการสันสะเทือนนั้นมักจะถูกหน่วงและต้านด้วยระดับความดันที่สูงใกล้ตำแหน่งแอนติโหนดบริเวณที่เปลวไฟเสถียรตัว (McManus et al., 1990) ถึงแม้ว่าจะแสดงให้เห็นได้ในห้องเผาใหม่ต้องการวิเคราะห์การสันสะเทือนสามารถลดลงได้ในระดับถึง 2-3 เท่าตัวแต่เมื่อย้ายห้องเผาใหม่ให้มีขนาดเท่าของจริงในภาชนะอุตสาหกรรม ขนาดของการลดลงก็ลดลงอย่างเห็นได้ชัด ดังเช่นแสดงในผลการศึกษาของ Bhidayasiri et al. (1998), Candel (1992) การลดการสันสะเทือนในห้องเผาใหม่รูปแบบดังการศึกษานี้ซึ่งเป็นรูปแบบที่นิยมใช้มากในขณะนี้จึงประสบกับอุปสรรคและข้อจำกัดหลายด้าน

อย่างไรก็ตี จากการวิจัยที่ผ่านมาพบว่าอุณหภูมิในบริเวณ Primary zone เป็นปัจจัยที่สำคัญอย่างยิ่งต่อการสันสะเทือนในห้องเผา ใหม่รูปแบบนี้จะเห็นได้ว่าการอุ่นอากาศ (Air preheating) สามารถทำให้การสันสะเทือนลดลงได้ถึงเกือบ 2 เท่าถึงแม้ว่าจะเป็นการเพิ่ม อุณหภูมิในระดับเพียงแค่ 200 K (Bhidayasiri, 2001) และการใช้อุณหภูมิอุ่นอากาศที่มีอุณหภูมิสูงกว่า 1000 K สามารถลดขนาดของ ก๊าซในโตรเจนออกไซด์ได้มากเนื่องจากเมื่ออุณหภูมิอุ่นอากาศสูงมาก จะทำให้การเผาใหม่เกิดขึ้นด้วยปริมาณออกซิเจนที่ต่ำทำให้เกิดปฏิกิริยาบันในโตรเจน้อยลง (Katsuki และ Hasegawa, 1998) และ จากหลักการที่ว่าการนำไอเสียกลับมาใช้ใหม่สามารถทำให้เกิดการลด ก๊าซในโตรเจนออกไซด์ได้ ซึ่งในการทดลองในอดีตนานมีแล้วของ Breen (1972) และการทดลองต่อมาทั้งในเครื่องยนต์อุตสาหกรรมและ เครื่องยนต์สันดาปภายใน แต่มิใช่ในก๊าซเทอร์บินที่มีการสันสะเทือน ก็พบว่าวิธีการนำไอเสียกลับมาใช้ใหม่สามารถลดก๊าซในโตรเจนออกไซด์ หลายเป็นเท่าตัว ซึ่งหากนำเหตุผลของการใช้อุณหภูมิอุ่นอากาศจะคาด การณ์ได้ว่าการนำไอเสียกลับมาใช้ใหม่ที่เรียกว่า Exhaust Gas Recirculation (EGR) หรือ Flue Gas Recirculation มีโอกาสที่จะลด การสันสะเทือนในห้องเผาใหม่ได้ ด้วยเหตุผลที่ว่าการนำเอาไอเสียกลับ มาใช้ใหม่ก็จะคล้ายกับการอุ่นอากาศและยิ่งไปกว่านั้นยังอาจทำให้อุณหภูมิโดยเฉลี่ยในบริเวณ Primary zone ลดลงหรือมีการกระจายตัว เป็นระเบียนมากขึ้น ด้วยเหตุนี้การวิจัยโดยใช้เทคนิค EGR จึงเป็น ความพยายามที่จะลดได้ทั้งการสันสะเทือนและก๊าซในโตรเจนออกไซด์

จากการผลการศึกษานี้ถือเป็นความพοใจในระดับหนึ่งที่ถึงแม้การนำเอาไอเสียกลับมาใช้ใหม่มิได้เป็นการหมุนวนของไอเสียอย่างเป็นวง จึงโดยสมบูรณ์แล้วเป็นการเลียนแบบนำเอาไอเสียจากห้องเผาใหม่อีกด้วย หนึ่ง ก็ยังสามารถนำไปสู่การลดลงของการสันสะเทือนได้กว่า 2 เท่าตัว ในช่วงส่วนผสมที่ Total Equivalence Ratio ตั้งแต่ 0.96 ถึง 1.094 ซึ่ง การที่การสันสะเทือนลดลงน่าจะเกิดจากอุณหภูมิไกล์ค่าแห่งแอนติ โหนดของความดันลดลงและเป็นระเบียนมากขึ้น ซึ่งยังต้องการการ ทดลองเพิ่มเติมเพื่อวัดอุณหภูมิในบริเวณดังกล่าวอีกเพื่อหาผลลัพธ์ที่ แน่นอน หรือแม้กระทั่งการลดลงอาจมาจากผลโดยอ้อมของปริมาณ อะตอมของคาร์บอนที่ลดลงในบริเวณนั้นก็เป็นได้

สำหรับก๊าซในโตรเจนออกไซด์นั้นโดยปกติแล้วปริมาณก๊าซนี้ ในห้องเผาใหม่รูปแบบในการศึกษานี้จะลดลงเมื่อการสันสะเทือนเพิ่มขึ้นเนื่องจากว่าการสันสะเทือนที่เพิ่มขึ้นช่วยทำให้เวลาที่ใช้ในการเผาใหม่ที่อุณหภูมิสูงสุดลดลง อุณหภูมิจะปรคามากขึ้น หรือเป็นการลด Residence time (Sivasegaram และ Whitelaw, 1.996) ดังนั้นมีเมื่อมี การทำให้การสันสะเทือนลดลงด้วยเทคนิคใดก็แล้วแต่ ก็ต้องขึ้นอยู่กับ ว่าเทคนิคนี้จะทำให้ค่าเฉลี่ยของอุณหภูมิใหม่ในบริเวณ Primary zone ต่ำกว่าค่าเฉลี่ยของอุณหภูมิที่ปรปรวนระหว่างเกิดการสันสะเทือนสูง หรือไม่ หากเป็นเช่นนี้เทคนิค EGR จะถือว่ามีคุณค่าด้วยสามารถทำให้ การสันสะเทือนและในโตรเจนออกไซด์ลดลงได้พร้อมกัน ซึ่งที่ผ่านมา ยังถือเป็นเรื่องที่เกิดขึ้นพร้อมกันได้ยาก และในการศึกษานี้ได้แสดง แนวคิดใหม่ให้เห็นว่าเทคนิค EGR เป็นเทคนิคที่สามารถทำให้ผลเกิดขึ้นเมื่อการเกิดขึ้นได้พร้อมกัน ปัญหาที่ต้องมีการพิจารณาต่อไปในอนาคต ก็คือจะทำอย่างไรเพื่อให้ EGR สามารถเกิดขึ้นได้อย่างสมบูรณ์

ในห้องเผาใหม่รูปแบบนี้โดยมิต้องเลียนแบบการนำไอเสียโดยใช้ห้องเผาใหม่อีกด้วยหนึ่ง การทดลองต่อไปจึงมีความจำเป็นที่จะต้องเพิ่มเติม ห้องรายละเอียดของอุณหภูมิในบริเวณ Primary zone ซึ่งแน่นอนว่าจะต้องใช้เครื่องมือประเภท Non-intrusive เช่น Laser Doppler Velocimetry (LDV) และการทดลองปรับระดับความดันของระบบโดยใช้ปั๊มจ่ายกําลังออกเพื่อให้ไอเสียสามารถกลับมายังบริเวณด้านทางได้โดยมิต้องใช้ห้องเผาใหม่ที่มีภาระมากในเชิงการวิจัย

สำหรับการศึกษาในครั้งนี้สามารถสรุปผลการวิจัยได้เป็นข้อๆดังนี้

1. การสันสะเทือนในห้องเผาใหม่ที่ใช้การหมุนวนเป็นตัวรักษาระดับความดันของเปลวไฟมีขนาดรุนแรงและการลดโดยใช้วิธีการควบคุมแบบแยกกิฟสามารถทำให้ยกเว้นจากข้อจำกัดของลักษณะความดันภายในท่าให้มีแรงหน่วงต่อพลังงานที่จะใส่เข้าไปได้สูง การลดการสันสะเทือนควรใช้แบบพาสเซิฟโดยปรับปรุงสภาพการไฟฟ้าให้มีอุณหภูมิในบริเวณ Primary Zone ต่ำลง และวิธีหนึ่งที่สามารถทำได้ต่อการนำเอาไอเสียกลับมาใช้ใหม่
2. วิธีปฏิบัติต่อการนำเอาไอเสียมาใช้ใหม่ในการศึกษานี้มิได้เป็นการรวนกลับมาของไอเสียอย่างสมบูรณ์เหมือนในทางทฤษฎีแต่เป็นการเลียนแบบไอเสียที่สร้างขึ้นมาโดยห้องเผาใหม่อีกด้วยหนึ่ง อย่างไรก็ตามสามารถทำให้สภาวะของ การเปลี่ยนแปลงด้วยรูปแบบที่มีห้องเผาใหม่สองห้องมีพื้นฐานของการใช้เชื้อเพลิงและปริมาตรการไฟฟ้าที่เท่ากันกับสภาพวัสดุที่ต้องทำการเบรียบเทียบ และการใช้รูปร่างเรขาคณิตเพื่อการนำไอเสียไปยังห้องเผาใหม่ได้ทำให้ลักษณะของการสันสะเทือนหลักเปลี่ยนแปลง โดยการสันสะเทือนยังคงขึ้นอยู่กับแกนหลักของห้องเผาใหม่อยู่
3. การใช้การหมุนวนของส่วนผสมทำให้การสันสะเทือนมีขนาดรุนแรงมากขึ้นเนื่องจากทำให้อุณหภูมิในบริเวณที่เปลวไฟเสียรุนแรงขึ้นและทำให้เปลวไฟเสียรุตัวใกล้กับคอกอคหรือด้านทางของห้องเผาใหม่มากขึ้น นอกจากนั้นการใช้เทคนิคการอุ่นอากาศก่อนการเผาใหม่ทำให้การสันสะเทือนลดลงดังใน การศึกษาที่ผ่านมา ทั้งนี้เนื่องจากทำให้การกระจายตัวของอุณหภูมิที่บริเวณ Primary zone มีความส่วนรวมมากขึ้นและปฏิกิริยาในการจับตัวระหว่างอะตอม carcinobon กับออกซิเจนก็โดยรวมเร็วขึ้น เป็นเหตุผลที่สำคัญที่ซึ่งทำให้เห็นว่าห้องอุณหภูมิและปฏิกิริยาที่เกิดกับอะตอมของ carcinobon เป็นตัวแปรที่สำคัญของการสันสะเทือน และการใช้เทคนิค EGR ย่อมจะทำให้เกิดผลที่แตกต่างต่อการสันสะเทือน
4. การใช้ EGR สามารถลดการสันสะเทือนในห้องเผาใหม่ได้อย่างมีประสิทธิภาพ โดยการลดการสันสะเทือนจะสูงขึ้นหากใช้อิเสียที่ผลิตจากส่วนผสมที่บางลง ซึ่งภาวะที่ผลิตไอเสียจาก φ ประมาณ 0.8 และการใช้สัดส่วนมีริมารต์ไอเสียต่อปริมาตรห้องหมู่เท่ากับ 0.5 สามารถลดการสันสะเทือนได้ถึง 3 เท่าตัว โดยผลการวัดองค์ประกอบของก๊าซที่มี carcinobon แสดงให้เห็นว่าปริมาณความเข้มข้น carcinobon ที่หลงเหลือใน Primary zone ลดลงและน่าจะทำให้อุณหภูมิบริเวณดังกล่าวลดลงด้วยซึ่งตั้งการการวัดผลเชิงอุณหภูมิเพิ่มเติมในอนาคต

5. โดยปกติกำลังในโทรศัพท์ที่ผลิตจากการเผาไหม้ในก๊าซเทอร์บินจะแปรผันกับขนาดของการสั่นสะเทือนเนื่องจาก การสั่นสะเทือนจะทำให้ระยะเวลาที่ใช้ในการเผาไหม้ลดลง ดังนั้นการสั่นสะเทือนที่มีขนาดลดลงโดยการใช้เทคนิค EGR จะทำให้ปริมาณก๊าซในโทรศัพท์ลดลงได้หรือไม่ ก็ขึ้นอยู่กับว่าค่าเฉลี่ยของอุณหภูมิจากการสั่นสะเทือนที่รุนแรงที่สุดก่อนมีการใช้ EGR เพาะเทคนิค EGR ที่ใช้ลดก๊าซในโทรศัพท์ให้ดันเป็นเทคนิคที่ใช้ในการนี้ที่ไม่ได้คำนึงถึงปัจจัยการสั่นสะเทือนจากความดันที่เด่นชัด หรือมักใช้ในห้องเผาไหม้เครื่องยนต์สันดาปภายในซึ่งมีการสั่นสะเทือนต่ำ
6. การศึกษานี้ได้ข้อสรุปที่เป็นประโยชน์ต่อเทคนิคที่สามารถนำไปประยุกต์ได้จริงในเครื่องยนต์ก๊าซเทอร์บินรูปแบบที่ใช้การหมุนวนส่วนผสม(Swirl) ซึ่งเป็นรูปแบบของห้องเผาไหม้ที่นิยมใช้อยู่ในปัจจุบันและทันสมัย และสามารถลดการสั่นสะเทือนได้จริงทั้งๆที่มีข้อจำกัดจากการกระจายความร้อนด้วยอุณหภูมิสูงตลอดในห้องเผาไหม้และความหน่วงจากการดับความดันที่สูงด้วย อายุการ์ดิ เหตุผลของการลดลงของการสั่นสะเทือนสันนิษฐานว่าเป็นผลที่ต่อเนื่องจากอุณหภูมิที่ต่ำลงกับปฏิกิริยาทางเคมีที่ใช้ปริมาณคาร์บอนลดลง ข้อสรุปที่ชัดเจนอย่างสมบูรณ์ยังต้องการการใช้เทคนิคการวัดชั้นสูงเช่น LDV ซึ่งให้รายละเอียดของค่า rms ของอุณหภูมิและปริมาณโมเลกุลอิสระที่เป็นองค์ประกอบของคาร์บอนอาทิ CH ในพังค์ชันของเวลา
6. เอกสารอ้างอิง
- รุ่งเรือง พิทยศิริ (2541), "การควบคุมการเผาไหม้ในเครื่องยนต์ก๊าซเทอร์บิน", เอกสารประกอบการสัมมนาวิชาการเครื่องกลแห่งประเทศไทยครั้งที่ 12, จัดโดยจุฬาลงกรณ์มหาวิทยาลัย
 - รุ่งเรือง พิทยศิริและติมา อริยะชัยพานิชย์ (2542), "แนวทางการลดการสั่นสะเทือนและออกใช้ด้วยในโทรศัพท์ในห้องเผาไหม้หัวตัดสีเหลี่ยมจัตุรัส ตอนที่ I และ II", เอกสารประกอบการสัมมนาวิชาการเครื่องกลแห่งประเทศไทยครั้งที่ 13, จัดโดยสถาบันเทคโนโลยีพระจอมเกล้าเจ้าคุณทหารลาดกระบัง
 - Billoud, G., Galland, M., Huynh, C. and Candel, S. (1992), "Adaptive Active Control of Combustion Instabilities", Combustion Science and Technology, Vol. 81, pp. 257-283
 - Bhidayasiri, R. (2001), "Oscillations in Ducted Swirl-Stabilised Flames", Proceedings of ASME Fluids Engineering Division Summer Meeting, May 29 - June 1, New Orleans, Louisiana
 - Bhidayasiri, R. (1998), "Control of Combustion", Ph.D. Thesis, Imperial College, University of London
 - Bhidayasiri, R., Sivasegaram, S. and Whitelaw, J.H. (1998), "Control of Oscillations in Premixed Gas Turbine Combustors", Advances in Chemical Propulsion, edited by G.D. Roy
 - Bhidayasiri, R., Sivasegaram, S. and Whitelaw, J.H. (1997), "Control of Combustion and NOx Emissions in Open and Ducted Flames", Proceedings of the Fourth International Conference on Technologies and Combustion for a Clean Environment, Vol. 2, Paper 29.1
 - Bloxidge, G.J., Dowling, A.P., Hooper, N. and Langhorne, P.J. (1988), "Active Control of Reheat Buzz", Journal of AIAA, Vol. 26, pp. 783-790
 - Bracewell, R.N. (1965), "The Fourier Transform and its Application", McGraw-Hill
 - Breen, B.P. (1972), "Emissions from Continuous Combustion Systems", Plenum Press, pp. 325
 - Candel, S.M. (1992), "Combustion Instabilities Coupled by Pressure Waves and Their Active Control", 24th Symposium (International) on Combustion, The Combustion Institute, pp. 1277-1296
 - De Zilwa, S.R.N., Uhm, J.H. and Whitelaw, J.H. (1999), "Combustion Oscillations Close to the Lean Flammability Limit", Internal Report of Imperial College, University of London
 - EGAT Power Development Plan (PDP 97-02) General Information, 1997, Generation System Development Planning Department, System Planning Division, Electricity Generating Authority of Thailand, December 1997
 - Fernandes, E.C. and Heitor, M.V. (1990), "On the Noise Characteristics of Confined Swirl Combustor", ASME Winter Annual Meeting, Texas
 - Gupta, A.K., Ramavajjala, M.S. and Chomiak, J. (1991), "Burner Geometry Effects on Combustion and NOx Emission Characteristics Using a Variable Geometry Swirl Combustor", Journal of Propulsion and Power, Vol. 7, No. 4
 - Gutmark, E.J., Parr, T.P., Hansan-Parr, D.M. and Schadow, K.C. (1992), "Structure of a Controlled Ducted Flame", Combustion Science and Technology, Vol. 87, pp. 217-239

17. Gutmark, E., Schadow, K.C., Sivasegaram, S. and Whitelaw, J.H. (1991), "Interaction Between Fluid Dynamic and Acoustic Instabilities in Combusting Flows Within Ducts", *Combustion Science and Technology*, Vol. 79, pp. 161-166
18. Katsuki, M. and Hasegawa, T. (1998), "The Science and Technology of Combustion in Highly Preheated Air", *Proceedings of the 27th Symposium (International) on Combustion*, pp. 3135-3146.
19. McManus, K.R., Poinsot, T. and Candel, S.M. (1993), "A Review of Active Control of Combustion Instabilities", *Progress in Energy and Combustion Science*, Vol. 19 ,pp. 1-29
20. McManus, K.R., Vandsbyrger, U. and Bowman, C.T. (1990), "Combustor Performance Enhancement Through Direct Shear layer Excitation", *Combustion and Flame*, Vol. 82, pp.75-92
21. Ochi, T., Katsuki, M., Mizutani, Y and Morinishi, Y (1995), "An Active Control of Acoustic Noise Generated by Combustion Oscillation", *Proceedings of the ASME/JSME Thermal Engineering Conference*, ASME, Vol. 3, No. H0933C-1995
22. Poppe, C., Sivasegaram, S. and Whitelaw, J.H. (1998), "Control of NO_x Emissions in Confined Flames by Oscillations", *Combustion and Flame*, Vol. 113, pp. 13-26
23. Putnam, A.A. (1971), "Combustion-Driven Oscillations in Industry", American Elsevier Publisher
24. Sivasegaram, S., Thompson, B.E. and Whitelaw, J.H. (1989), "Acoustic Characterization Relevant to Gas Turbine Augmentors", *Journal of Propulsion*, Vol. 5, No. 1
25. Sivasegaram, S., Tsai, R.F. and Whitelaw, J.H. (1995a), "Control of Combustion Oscillation by Forced Oscillation of Part of the Fuel Supply", *Combustion Science and Techology*, Vol. 105, pp. 67-83
26. Sivasegaram, S. and Whitelaw, J.H. (1991), "The Influence of Swirl on Oscillations in Ducted Premixed Flames", *Combustion and Flame*, Vol. 85, pp. 195-205
27. Sivasegaram, S. and Whitelaw, J.H. (1996), "Control of Flame and Emissions by Oscillation", *Proceedings of the 9th ONR Propulsion Meeting*, pp. 272-285